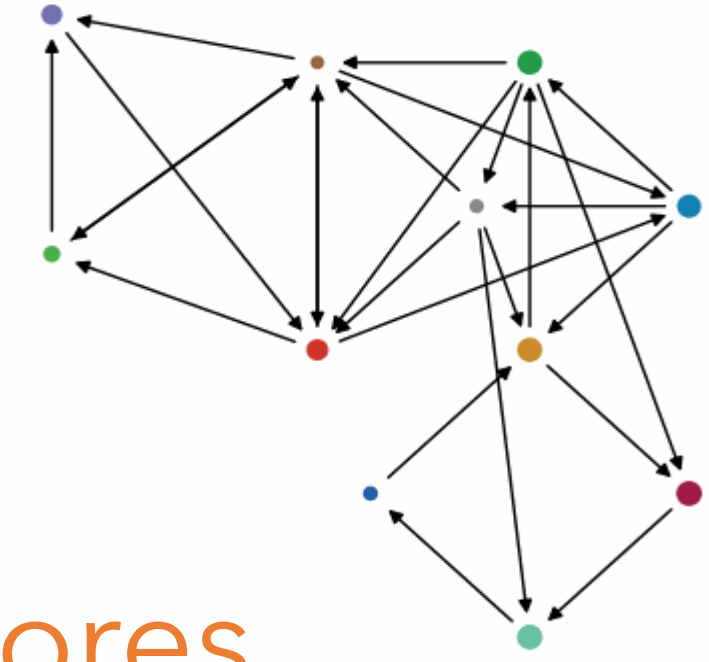
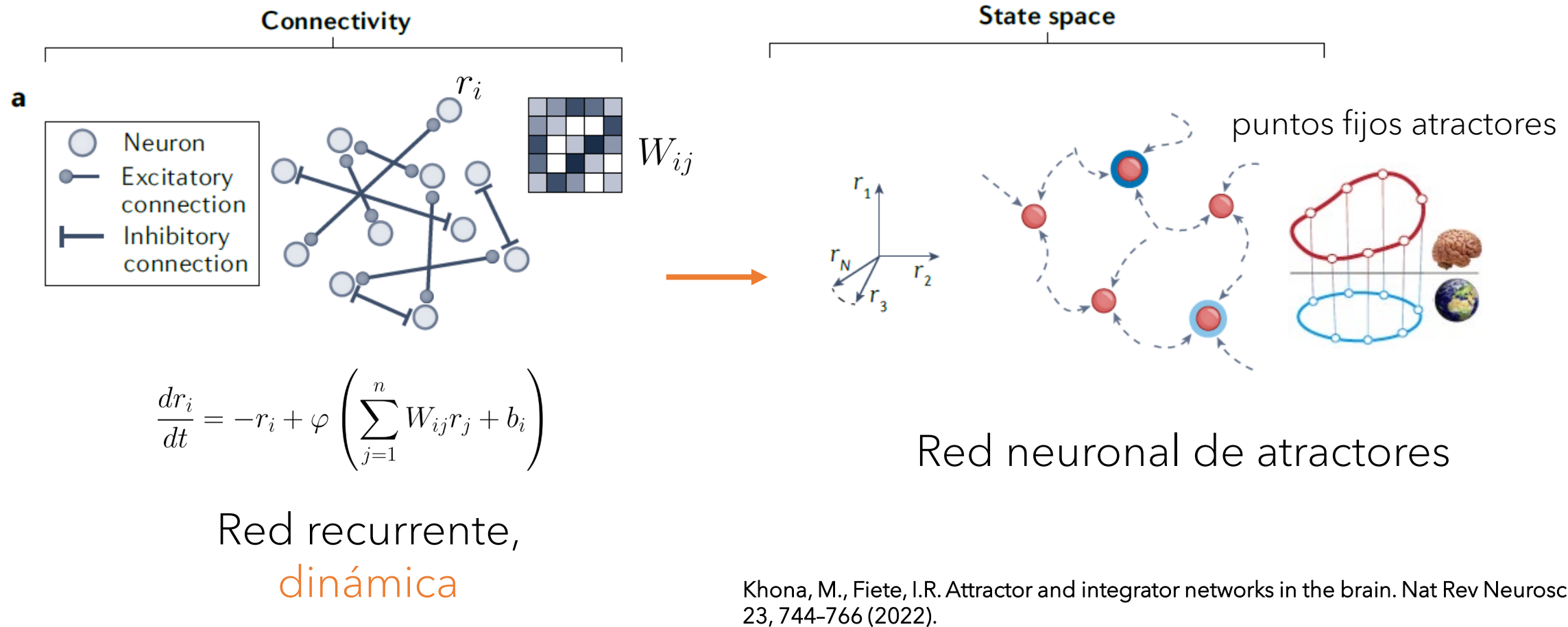


# Control secuencial de **atractores** dinámicos usando redes tipo CTLN

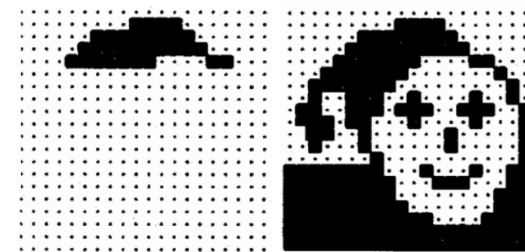


Juliana Londoño Álvarez  
(with Carina Curto and Katie Morrison)  
Pennsylvania State University  
June 2023

# Los atractores como representaciones de procesos cognitivos

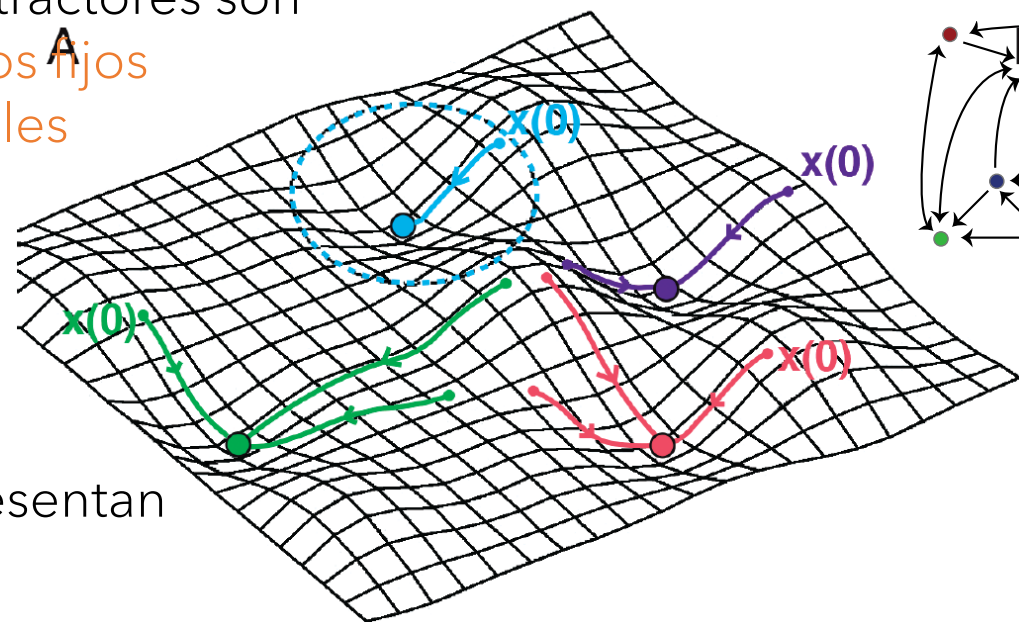


# Redes Hopfield (1982)



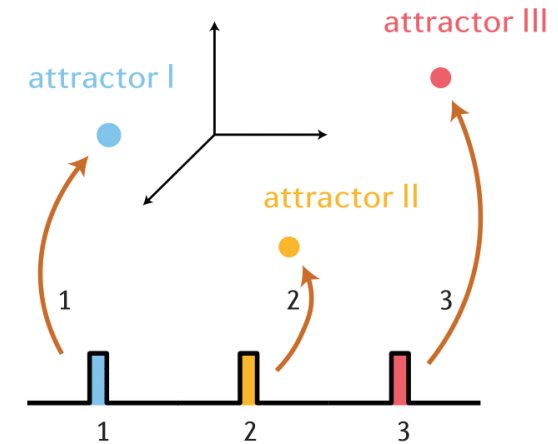
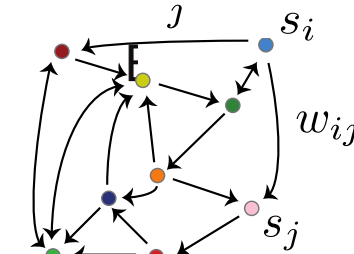
Atractores representan memorias

Los atractores son puntos fijos estables



Los inputs son específicos para cada atractor

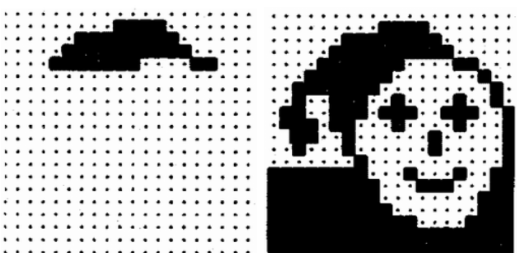
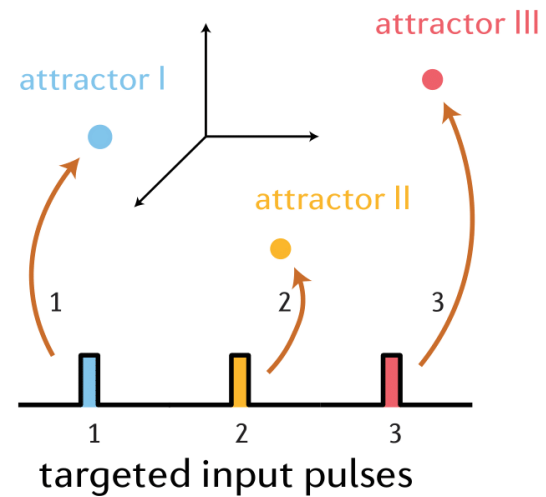
$$s_i(t + 1) = \text{sgn}(\sum w_{ij} s_j(t) - \theta_i)$$



Las secuencias están codificadas externamente

# Roadmap

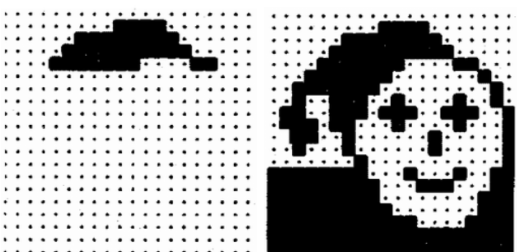
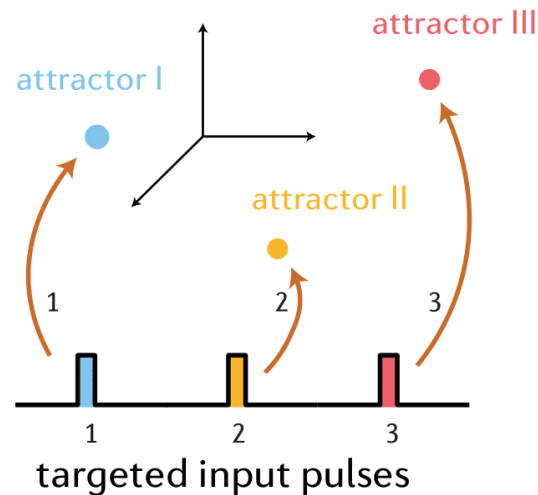
A classical Hopfield-like paradigm



Holk Cruse, Neural Networks as  
Cybernetic Systems

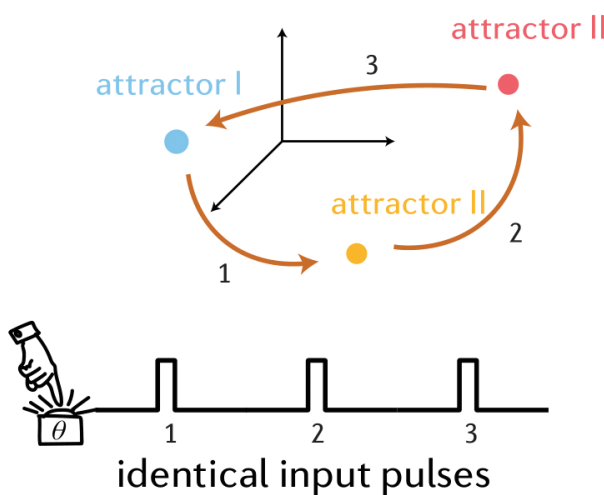
# Roadmap

A classical Hopfield-like paradigm



Holk Cruse, Neural Networks as Cybernetic Systems

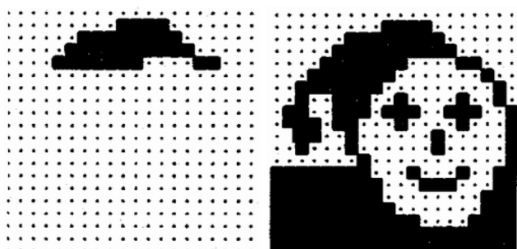
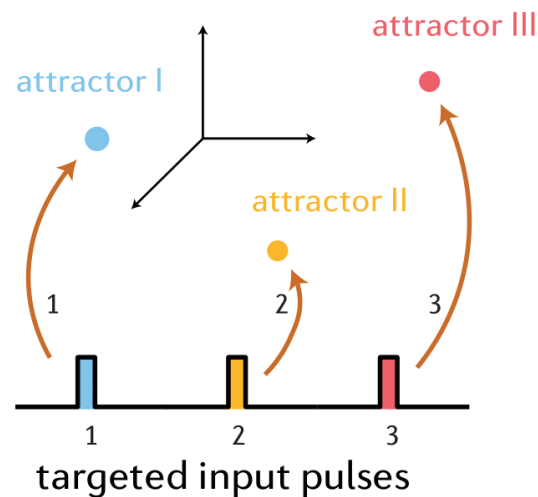
B sequential activation of static attractors



@mysillycomics

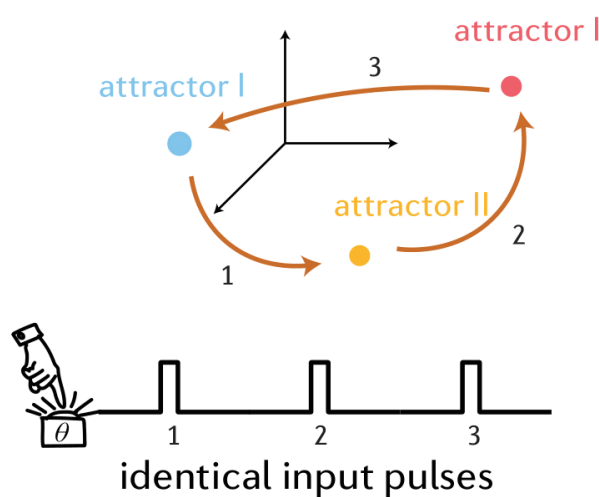
# Roadmap

A classical Hopfield-like paradigm



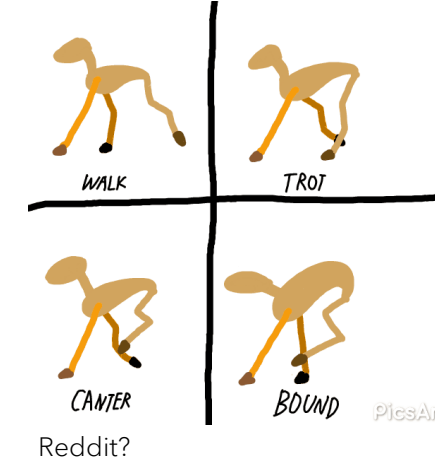
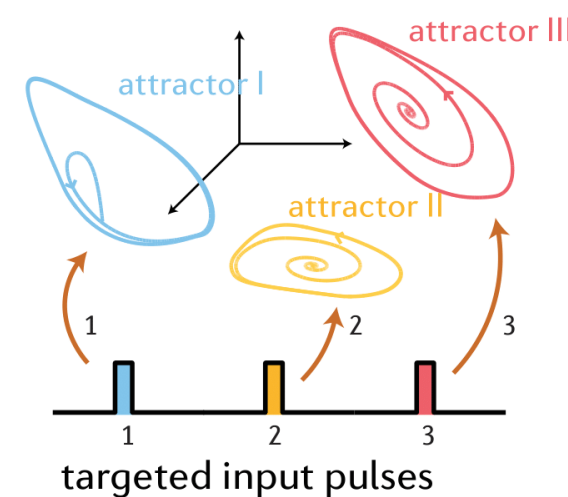
Holk Cruse, Neural Networks as Cybernetic Systems

B sequential activation of static attractors



@mysillycomics

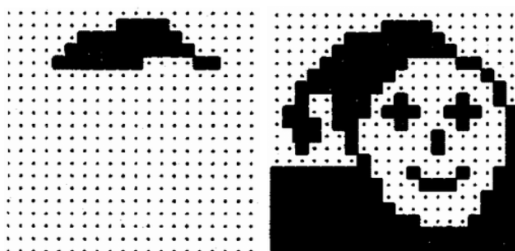
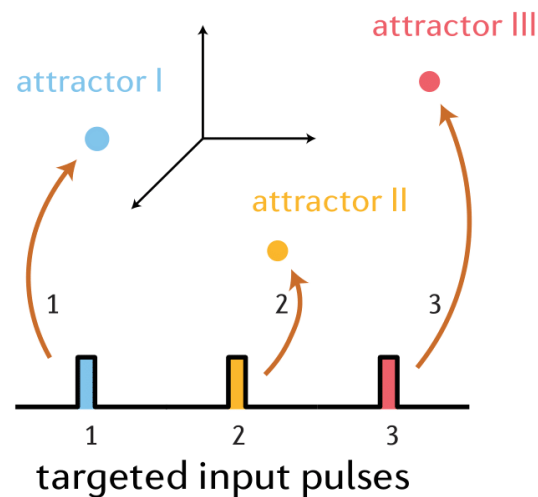
C coexistent dynamic attractors



Reddit?

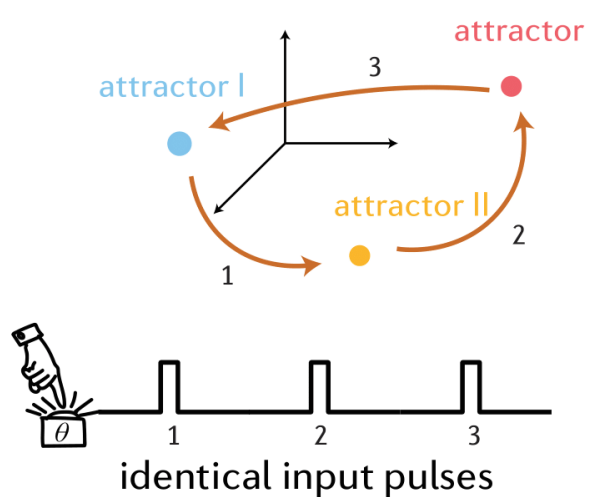
# Roadmap

A classical Hopfield-like paradigm



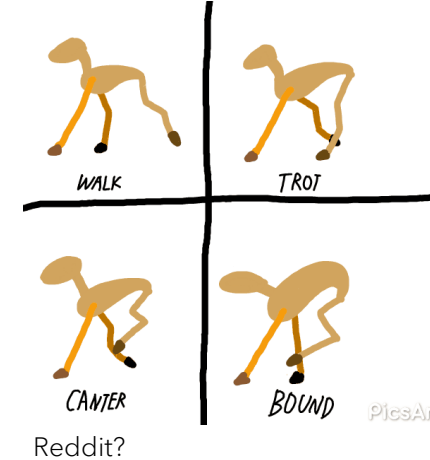
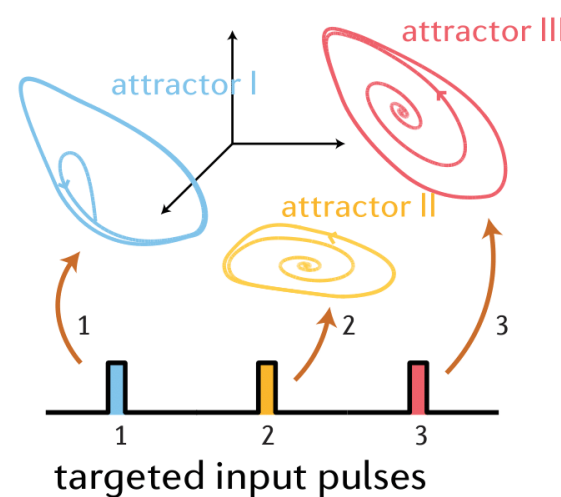
Holk Cruse, Neural Networks as Cybernetic Systems

B sequential activation of static attractors

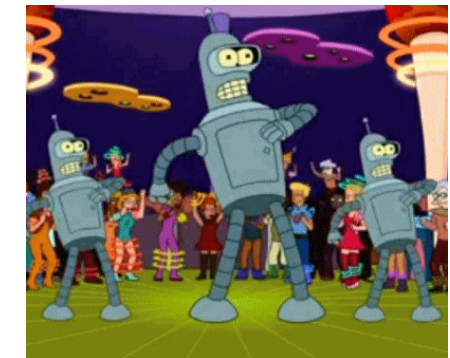
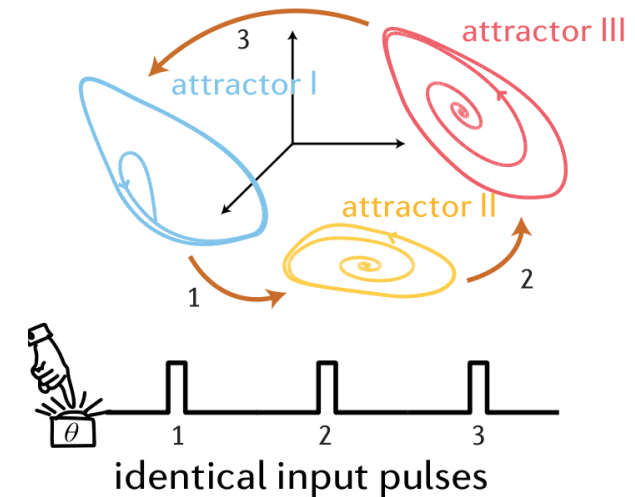


@mysillycomics

C coexistent dynamic attractors

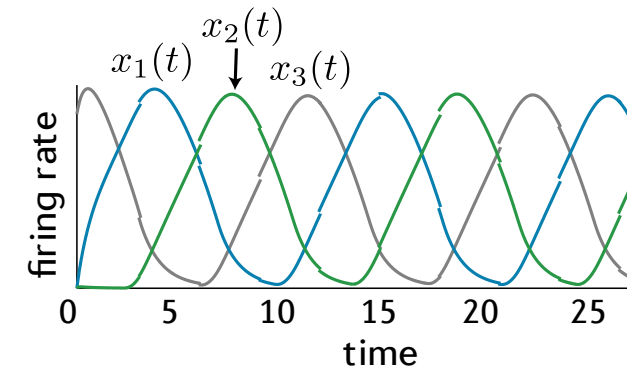
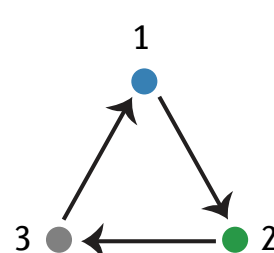


D sequential activation of dynamic attractors



# 0. Marco teórico

$$\frac{dx_i}{dt} = -x_i + \left[ \sum_{j=1}^n W_{ij}x_j + b_i \right] +$$



# Combinatorial threshold-linear networks (CTLNs)

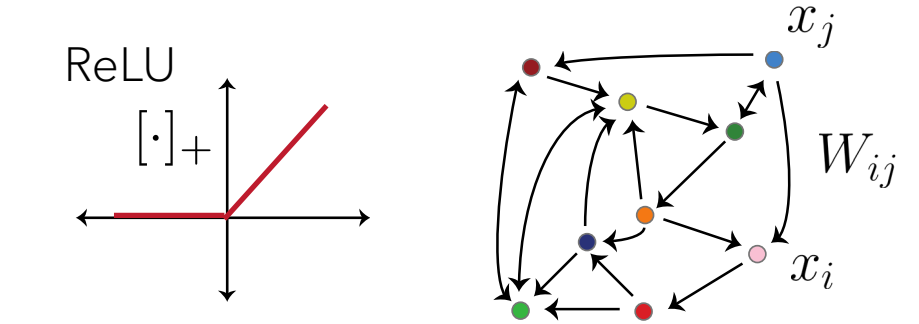
Redes neuronales recurrentes con no linearidad ReLU, cuya matriz de conectividad está prescrita por un grafo dirigido

$$\frac{dx_i}{dt} = -x_i + \left[ \sum_{j=1}^n W_{ij} x_j + \theta \right]_+, \quad i = 1, \dots, n,$$

$$W_{ij} = \begin{cases} 0 & \text{if } i = j, \\ -1 + \varepsilon & \text{if } j \rightarrow i \text{ in } G, j \text{ weakly inhibits } i \\ -1 - \delta & \text{if } j \not\rightarrow i \text{ in } G. j \text{ strongly inhibits } i \end{cases}$$

$$\epsilon = 0.25, \delta = 0.5, \theta = 1$$

$$\theta, \delta > 0$$



$$b_i = \theta \quad \text{Constant input}$$

$$0 < \varepsilon < \frac{\delta}{\delta + 1} \quad \left. \right\} \begin{array}{l} \text{Todas las} \\ \text{conexiones son} \\ \text{inhibitorias} \end{array}$$

# Las (C)TLNs son EDOs lineales por partes

En un **punto fijo**:  $x_i = \left[ \sum_{j=1}^n W_{ij}x_j + \theta \right]_+ = [y_i]_+$

Podemos etiquetar todos los puntos fijos de la red por su **soporte**:

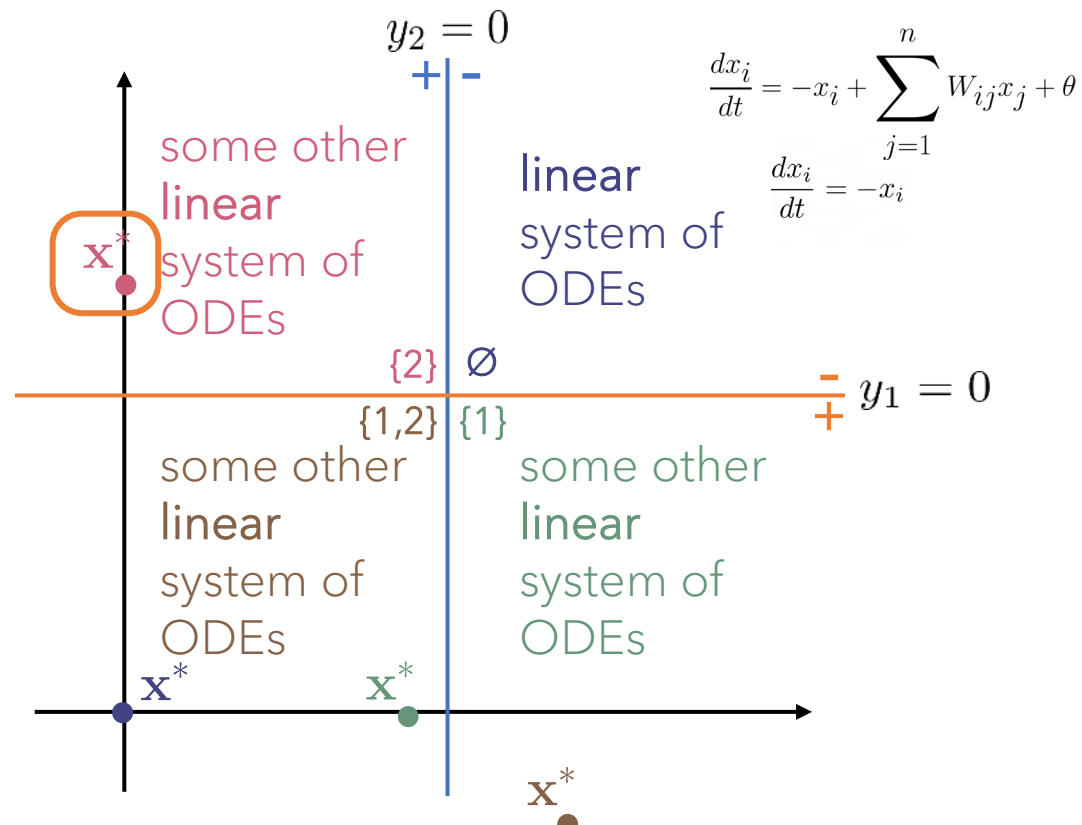
$$\sigma = \text{supp}(\mathbf{x}^*) = \{i \mid x_i > 0\} \subseteq \{1, \dots, n\}$$

y denotamos esa colección por

$$\text{FP}(G) = \{\sigma \subseteq [n] \mid \sigma \text{ is the support of a fixed point of the associated CTLN}\}$$

Es fácil obtener el **punto fijo a partir de su soporte**:

$$\frac{dx_i}{dt} = -x_i + \left[ \sum_{j=1}^n W_{ij}x_j + \theta \right]_+$$



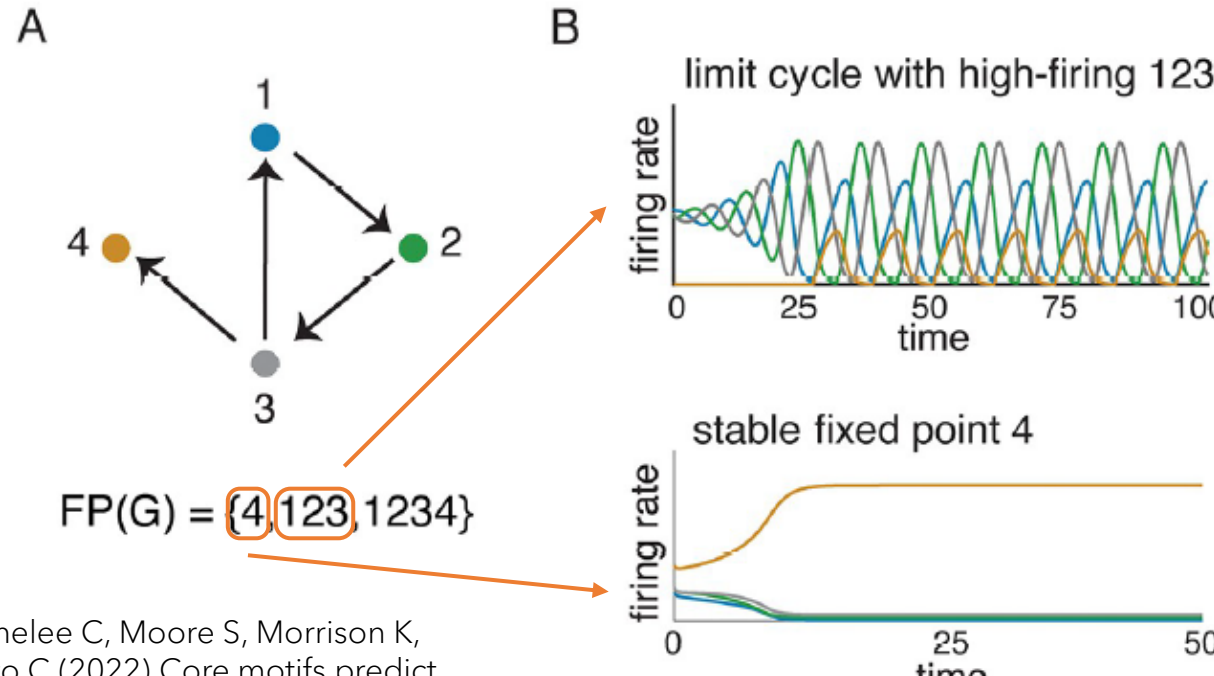
$$x_k^* = 0 \text{ for all } k \notin \sigma$$

$$\mathbf{x}_\sigma^* = (I - W_\sigma)^{-1} \boldsymbol{\theta}_\sigma$$

# Soportes minimales

$\text{FP}(G) = \{\sigma \subseteq [n] | \sigma \text{ is the support of a fixed point of the CTLN with graph } G\}$

$$\frac{dx_i}{dt} = -x_i + \left[ \sum_{j=1}^n W_{ij} x_j + \theta \right]_+$$



Parmelee C, Moore S, Morrison K, Curto C (2022) Core motifs predict dynamic attractors in combinatorial threshold-linear networks. PLOS ONE 17(3): e0264456.

**Heurística:** los atractores estáticos corresponden a cliques (soportes mínimos) y los atractores dinámicos corresponden a soportes mínimos que no son cliques.

Dado un conjunto de atractores, ¿qué arquitectura de red podría generarlos?

Dado un conjunto de **atractores**, ¿qué arquitectura de red podría generarlos?

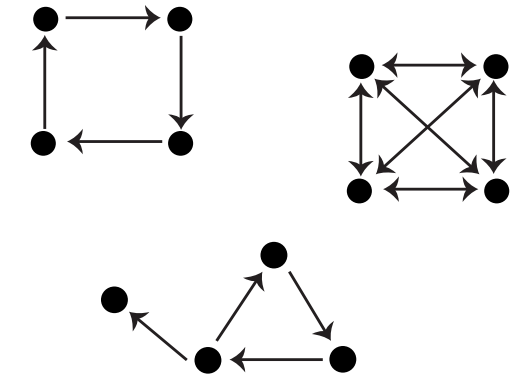
$$\text{FP}(G, \varepsilon, \delta)$$

Soportes  
minimales

Dado un conjunto de atractores, ¿qué arquitectura de red podría generarlos?

$\text{FP}(G, \varepsilon, \delta)$

Soportes  
minimales



Arquitectura  
del grafo

Dado un conjunto de atractores, ¿qué arquitectura de red podría **generarlos**?

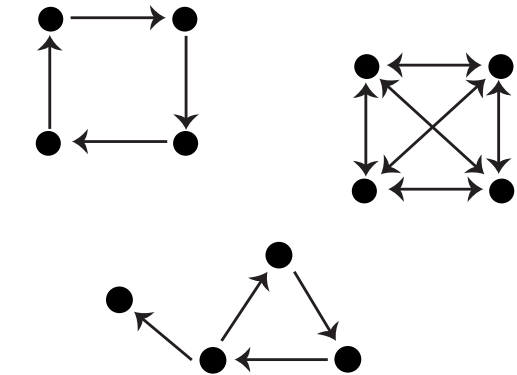
$\text{FP}(G, \varepsilon, \delta)$

Soportes  
minimales



Reglas gráficas  
para CTLNs

Curto, C., & Morrison, K. (2023). Graph Rules for Recurrent Neural Network Dynamics. Notices of the AMS.



Arquitectura  
del grafo

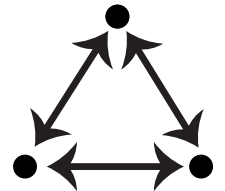
# Reglas gráficas para CTLNs

Rule name	$G _\sigma$ structure	graph rule
Rule 1	independent set	$\sigma \in \text{FP}(G _\sigma)$ , and $\sigma \in \text{FP}(G) \Leftrightarrow \sigma$ is a union of sinks
Rule 2	clique	$\sigma \in \text{FP}(G _\sigma)$ , and $\sigma \in \text{FP}(G) \Leftrightarrow \sigma$ is target-free
Rule 3	cycle	$\sigma \in \text{FP}(G _\sigma)$ , and $\sigma \in \text{FP}(G) \Leftrightarrow$ each $k \notin \sigma$ receives at most one edge $i \rightarrow k$ with $i \in \sigma$
Rule 4(i)	$\exists$ a source $j \in \sigma$	$\sigma \notin \text{FP}(G)$ if $j \rightarrow k$ for some $k \in [n]$
Rule 4(ii)	$\exists$ a source $j \notin \sigma$	$\sigma \in \text{FP}(G _{\sigma \cup j}) \Leftrightarrow \sigma \in \text{FP}(G _\sigma)$
Rule 5(i)	$\exists$ a target $k \in \sigma$	$\sigma \notin \text{FP}(G _\sigma)$ and $\sigma \notin \text{FP}(G)$ if $k \not\rightarrow j$ for some $j \in \sigma$
Rule 5(ii)	$\exists$ a target $k \notin \sigma$	$\sigma \notin \text{FP}(G _{\sigma \cup k})$ and $\sigma \notin \text{FP}(G)$
Rule 6	$\exists$ a sink $s \notin \sigma$	$\sigma \cup \{s\} \in \text{FP}(G) \Leftrightarrow \sigma \in \text{FP}(G)$
Rule 7	DAG	$\text{FP}(G) = \{\cup s_i \mid s_i \text{ is a sink in } G\}$
Rule 8	arbitrary	$ \text{FP}(G) $ is odd

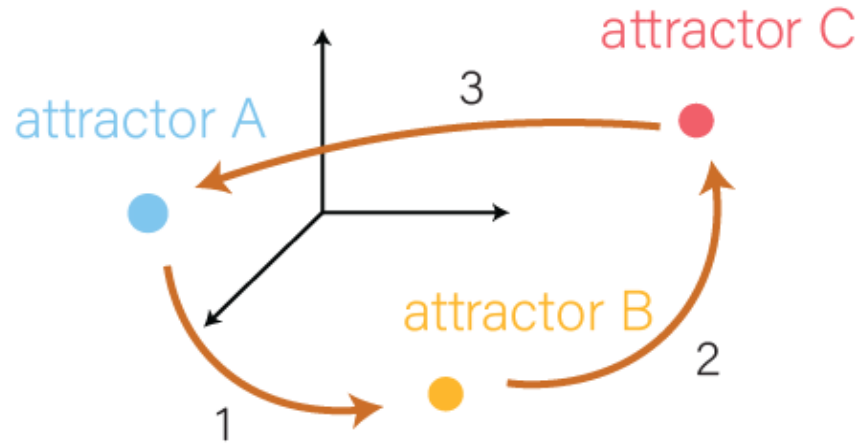
$\sigma$  soporta un punto fijo estable!



2-clique



3-clique

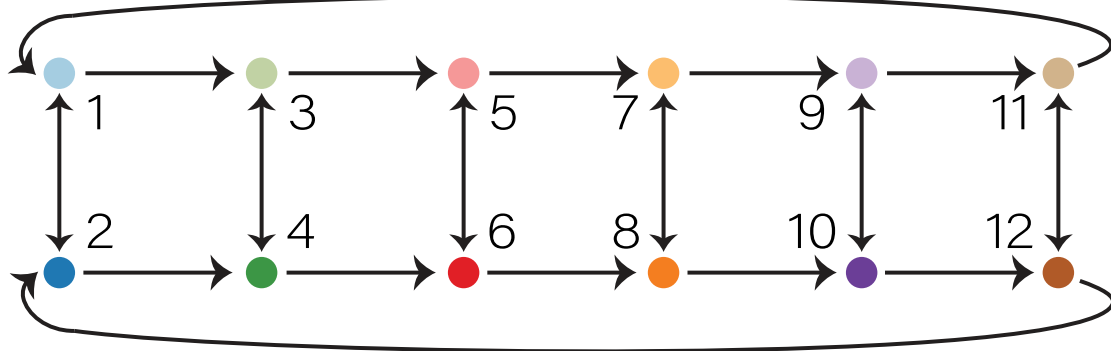


Q1. ¿Puede una **secuencia** de activaciones ser codificada, de manera flexible, de modo que se active con **inputs idénticos**?

# Ejemplo: contador CTLN

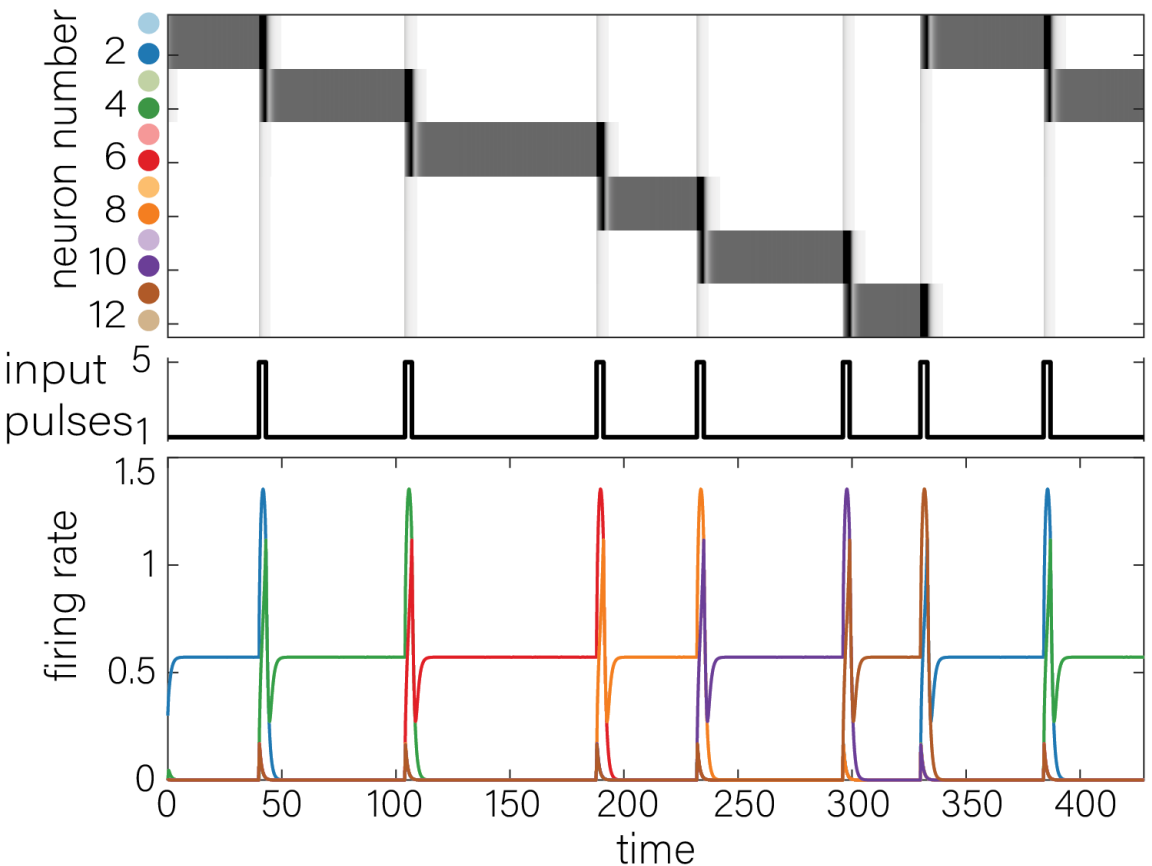
$$\frac{dx_i}{dt} = -x_i + \left[ \sum_{j=1}^n W_{ij} x_j + \theta \right]_+$$

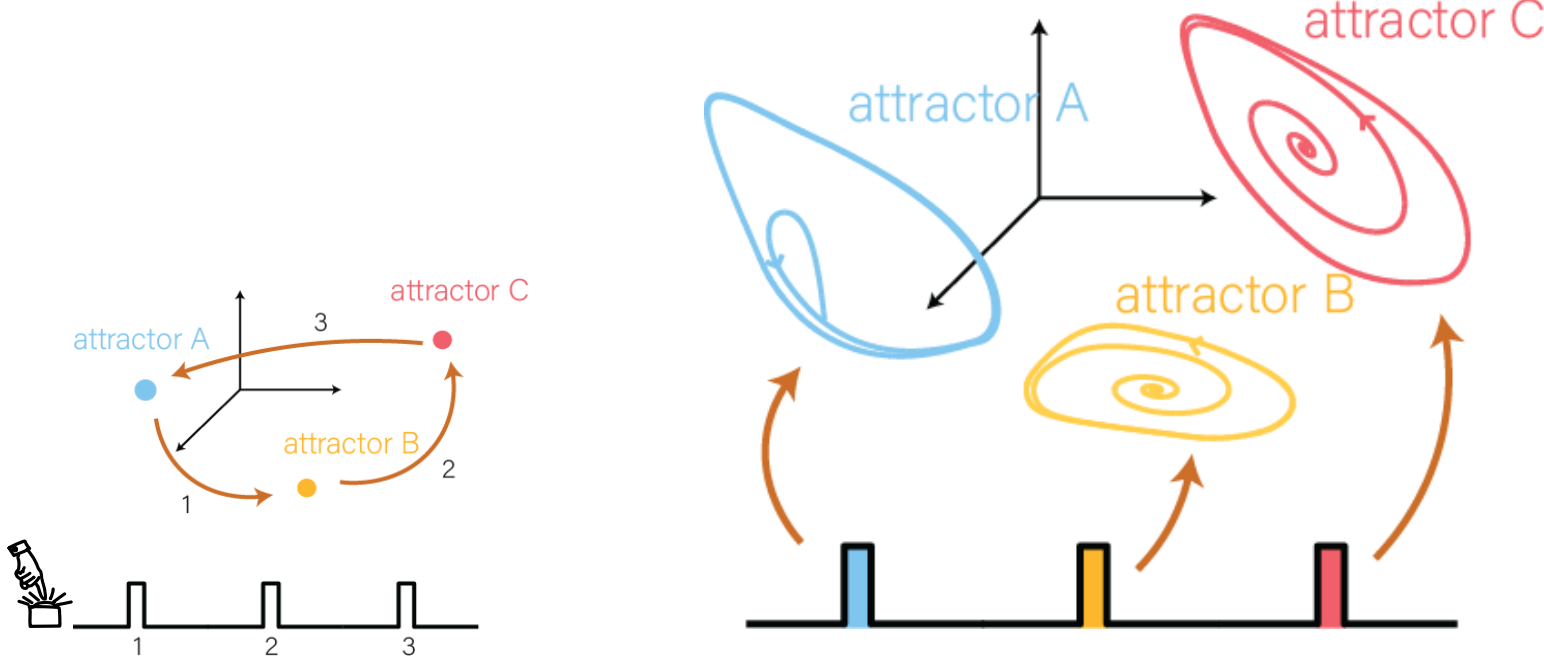
Cadena de cliques libres de blancos, cada 2-clique es un punto fijo **estable**



$$|\text{FP}(G)| = 141$$

minimal supports =  $\{\{1, 2\}, \{3, 4\}, \{5, 6\}, \{7, 8\}, \{9, 10\}, \{11, 12\}, \{1, 3, 5, 7, 9, 11\}, \{2, 4, 6, 8, 10, 12\}\}$

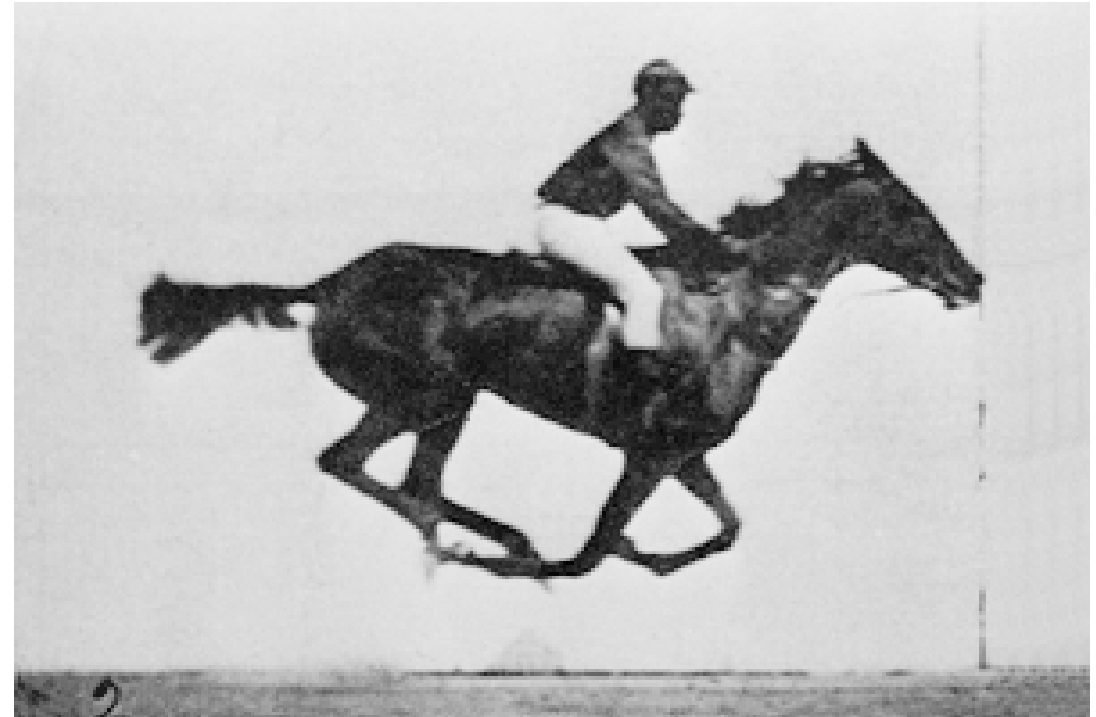




Q1. ¿Pueden múltiples **atractores dinámicos** ser codificados y activados mediante **inputs específicos**, en una sola red?

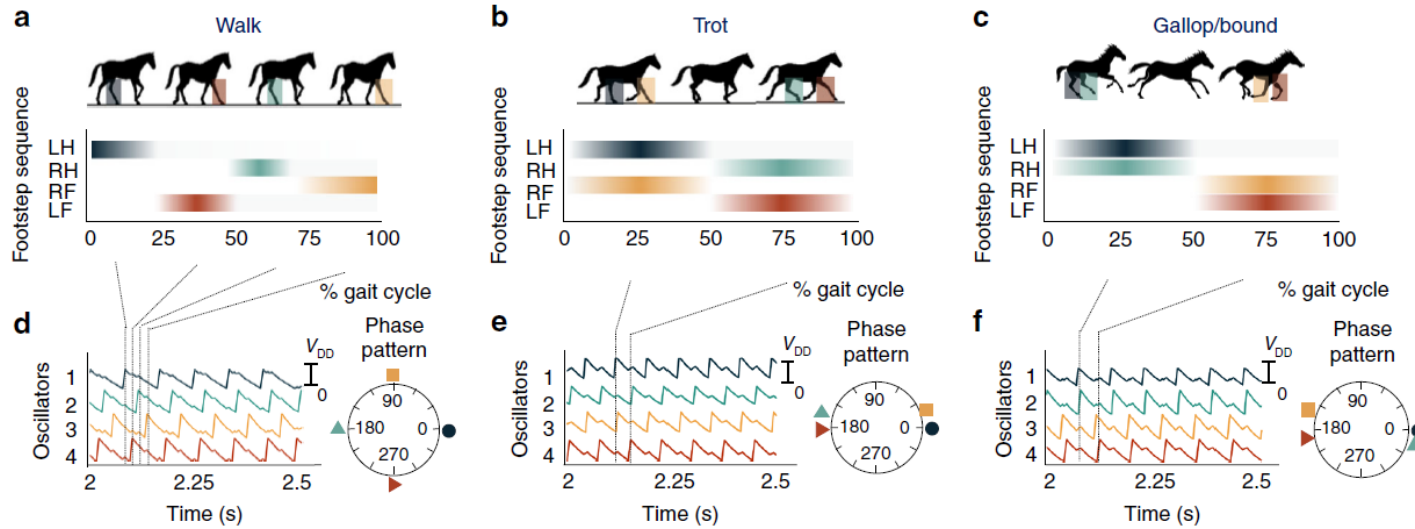
# Model problem: quadruped locomotion

Cuando un caballo está **trotando** o galopando,  
¿tienen los cuatro pies del  
caballo al mismo tiempo  
fuera del suelo?

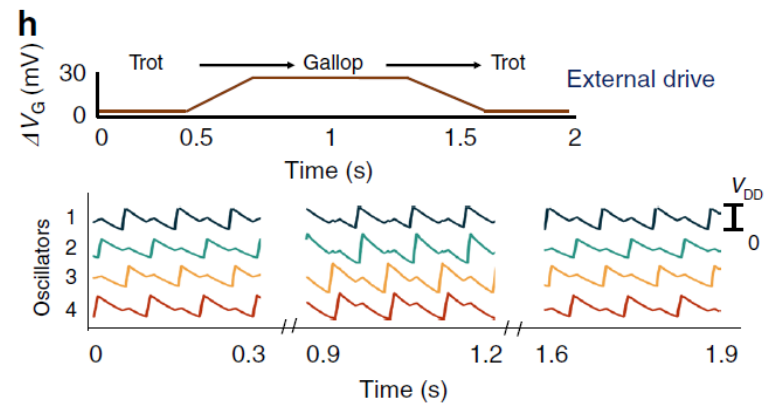


Eadweard Muybridge, 1878.

# Modelos de locomoción, ahora (2019).



Smooth transition under scheme 2

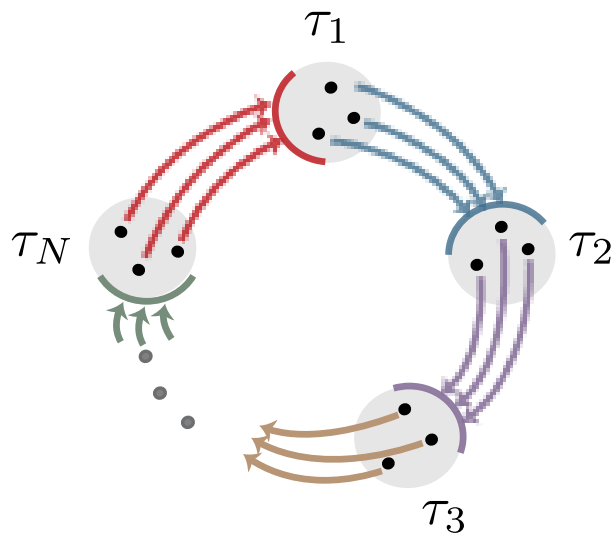


Dutta, S., Parihar, A., Khanna, A. et al. Programmable coupled oscillators for synchronized locomotion. *Nat Commun* 10, 3299 (2019).

- ¿Cómo coexisten los andares en una sola red?
- ¿Podemos hacer la transición entre diferentes andares?
- ¿Cómo podemos reducir el número de parámetros?

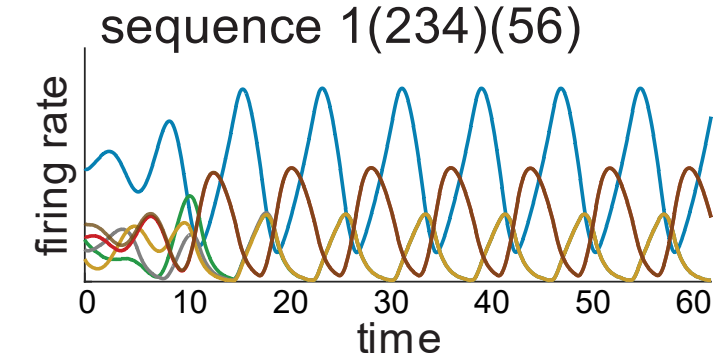
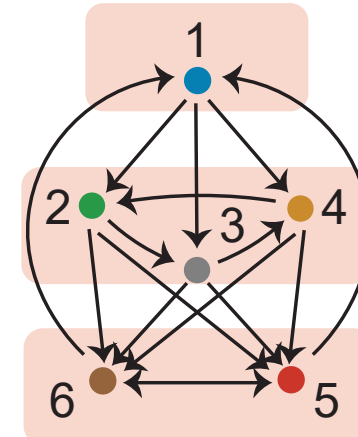
# Las uniones cílicas producen activaciones rítmicas.

Unión cíclica: aristas que van desde cada nodo en la componente anterior hacia cada nodo en la siguiente componente, y ninguna otra arista entre componentes.



$$\begin{aligned} \text{FP}(G|_{\{1\}}) &= \{1\} \\ \text{FP}(G|_{\{2,3,4\}}) &= \{2, 3, 4\} \\ \text{FP}(G|_{\{5,6\}}) &= \{5, 6\} \end{aligned}$$

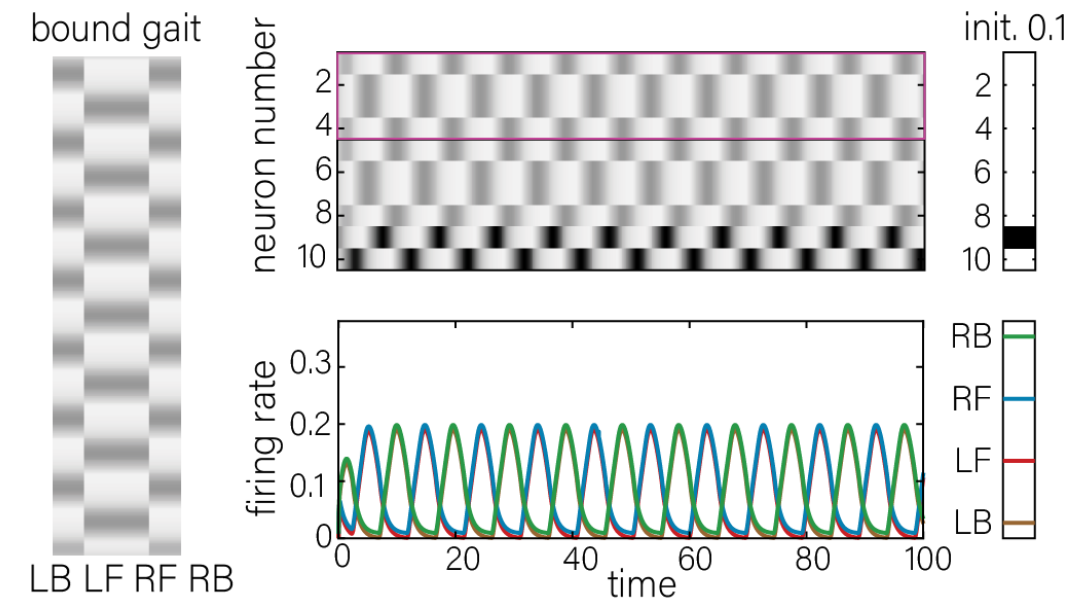
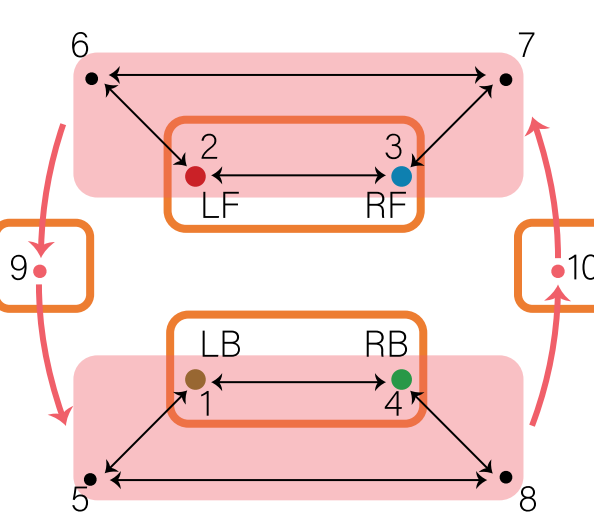
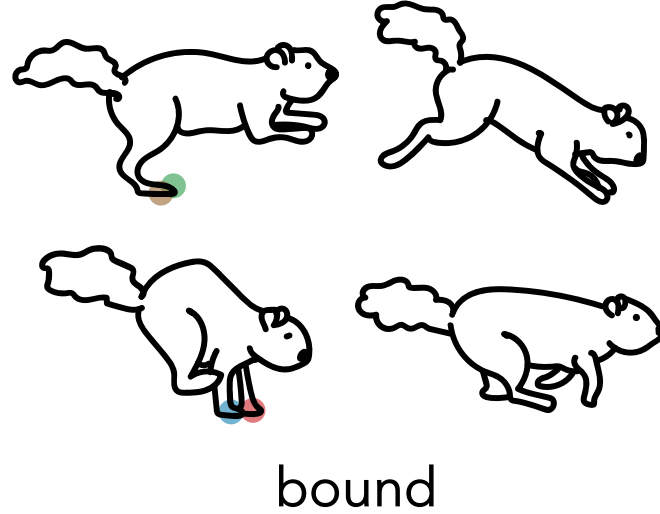
$$\text{FP}(G) = \{1, 2, 3, 4, 5, 6\}$$



**Theorem:** for all  $i \in [N]$   $\sigma \in \text{FP}(G) \Leftrightarrow \sigma \cap \tau_i \in \text{FP}(G|_{\tau_i})$

# Ejemplo de generador central de patrones: un solo andar

Las patas delanteras están sincronizadas, las patas traseras están sincronizadas, separadas por medio período.

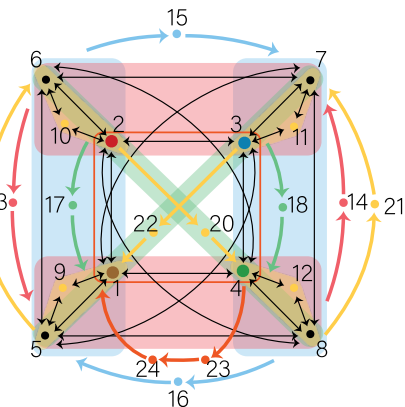
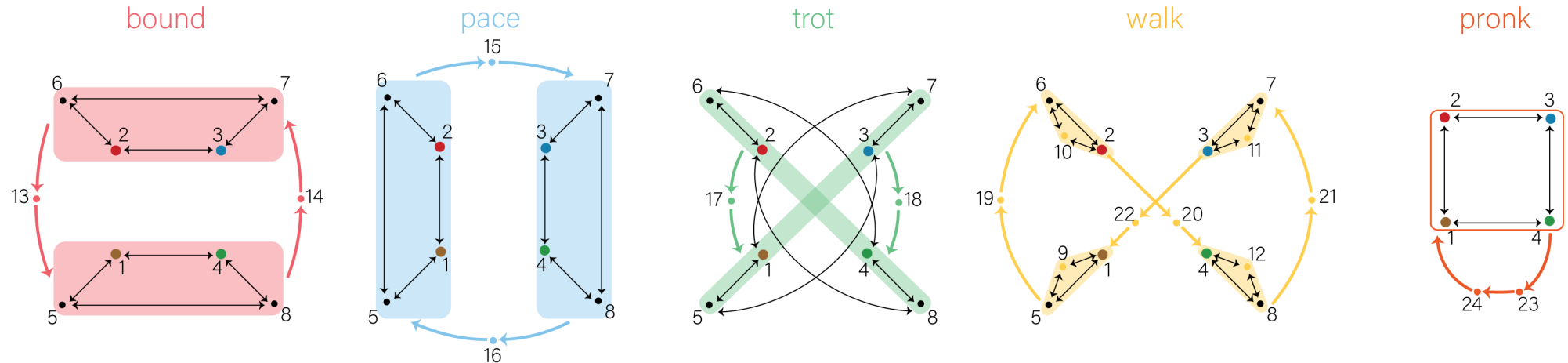
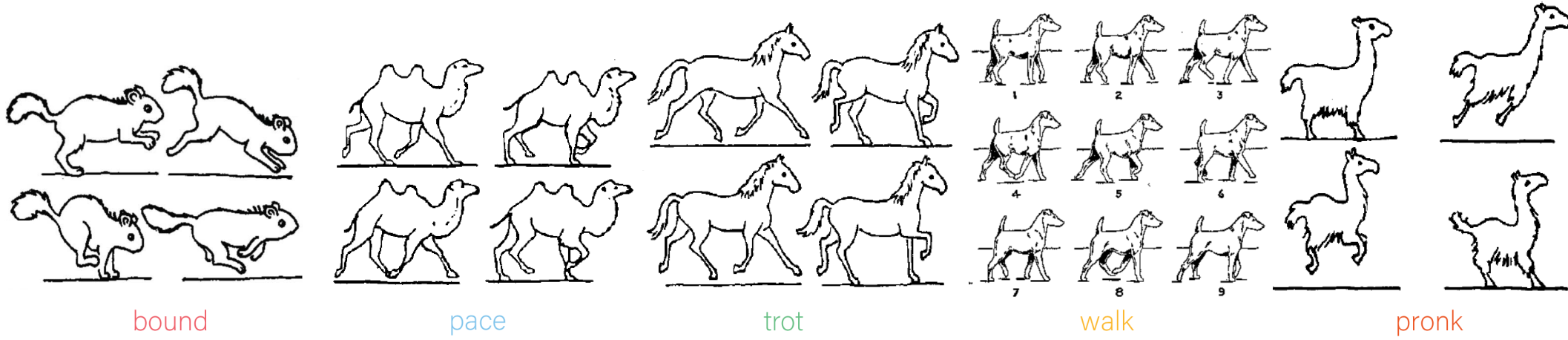


$$|\text{FP}(G)| = 81$$

$$\begin{aligned} \text{minimal supports} = & \{ \{1, 2, 3, 4, 9, 10\}, \{1, 2, 3, 5, 9, 10\}, \{1, 2, 4, 6, 9, 10\}, \{1, 2, 5, 6, 9, 10\}, \{1, 3, 4, 7, 9, 10\}, \\ & \{1, 3, 5, 7, 9, 10\}, \{1, 4, 6, 7, 9, 10\}, \{1, 5, 6, 7, 9, 10\}, \{2, 3, 4, 8, 9, 10\}, \{2, 3, 5, 8, 9, 10\}, \{2, 4, 6, 8, 9, 10\}, \\ & \{2, 5, 6, 8, 9, 10\}, \{3, 4, 7, 8, 9, 10\}, \{3, 5, 7, 8, 9, 10\}, \{4, 6, 7, 8, 9, 10\}, \{5, 6, 7, 8, 9, 10\} \} \end{aligned}$$

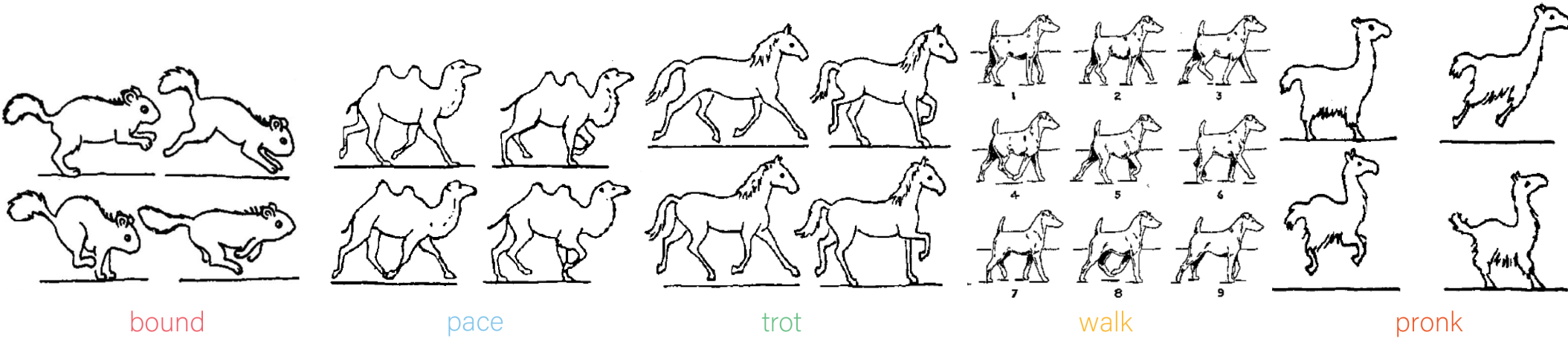
# Red con 5 andares

Dibujos: van der Weele, J. P., & Banning, E. J. (2001). American Journal of Physics.

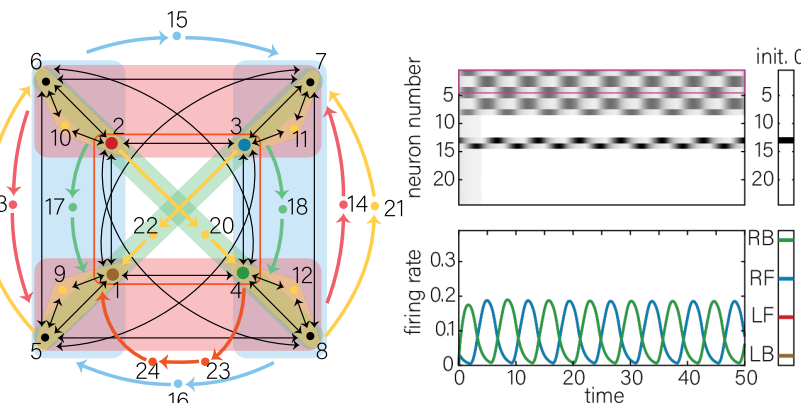
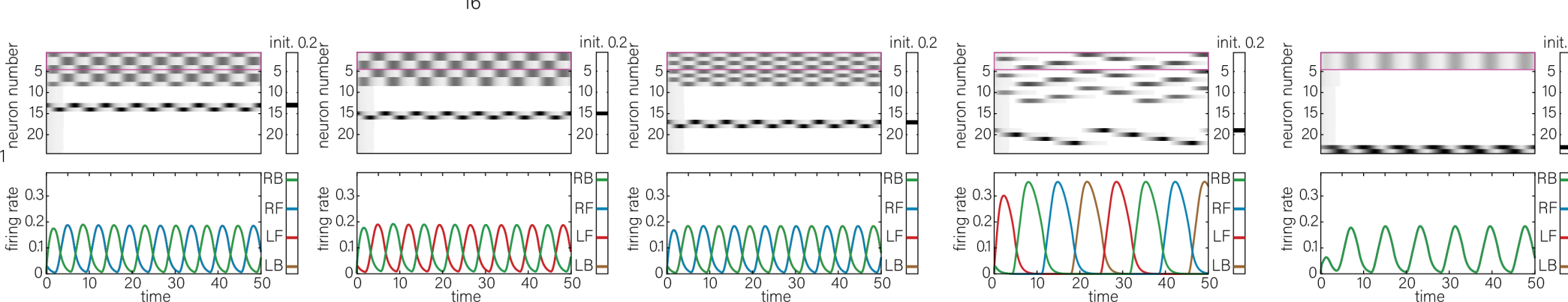
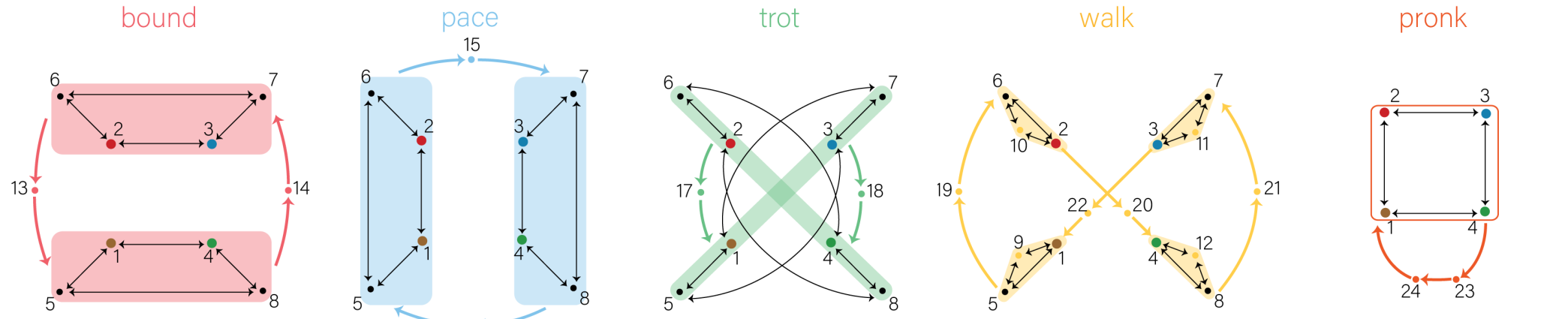


# Red con 5 andares

Dibujos: van der Weele, J. P., & Banning, E. J. (2001). American Journal of Physics.



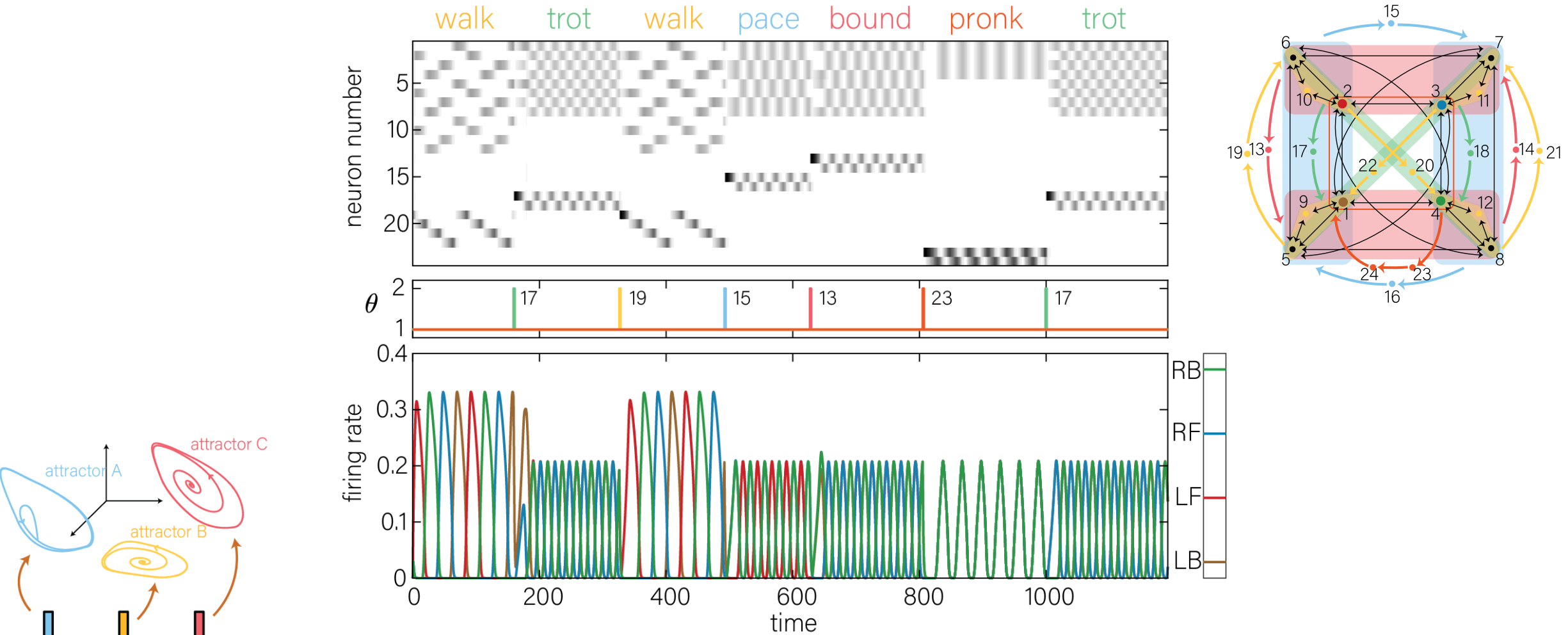
Todos los modos de andar son accesibles mediante cambios en las condiciones iniciales.

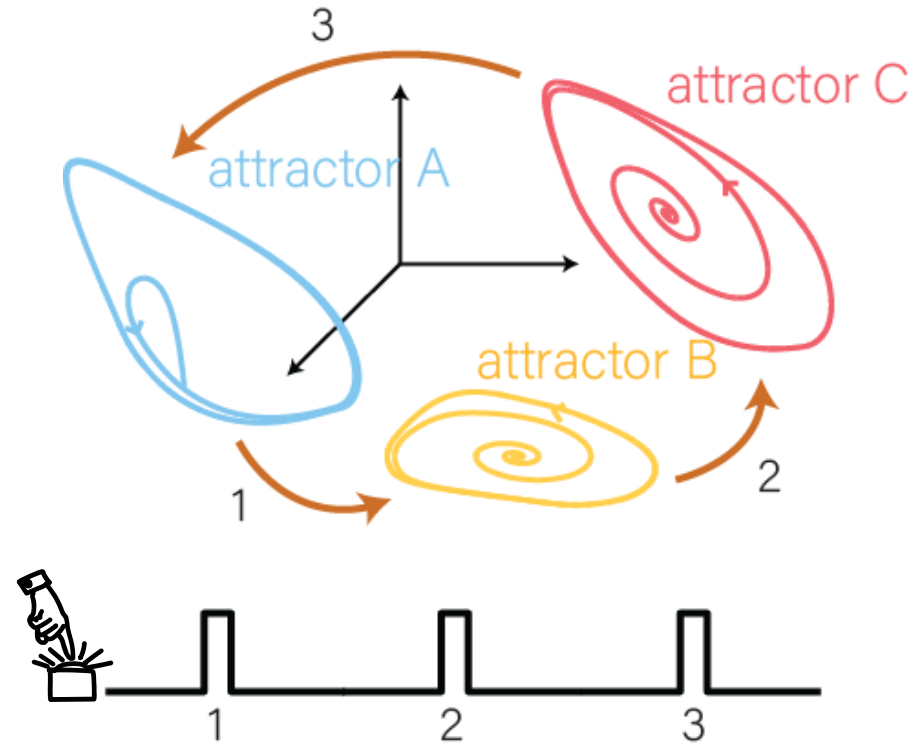
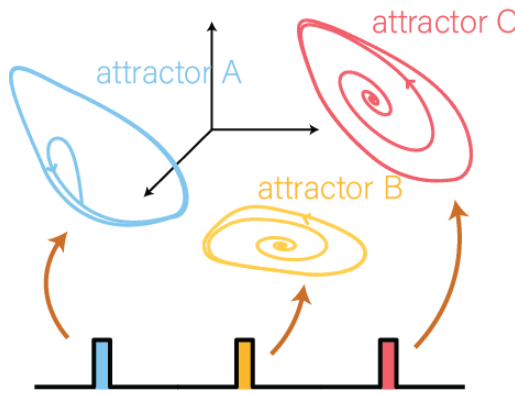
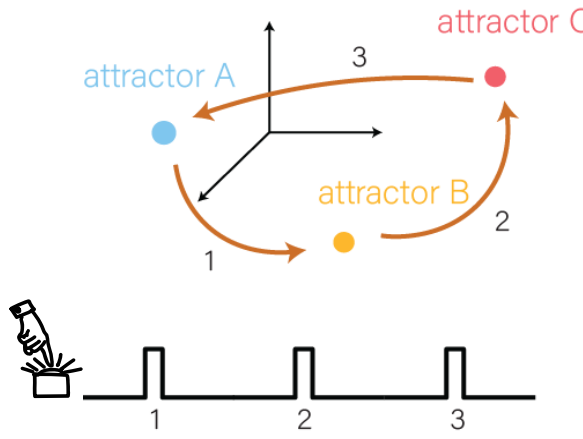


# Transiciones de modo de andar: coexistencia.

$$\frac{dx_i}{dt} = -x_i + \left[ \sum_{j=1}^n W_{ij} x_j + \theta \right]_+$$

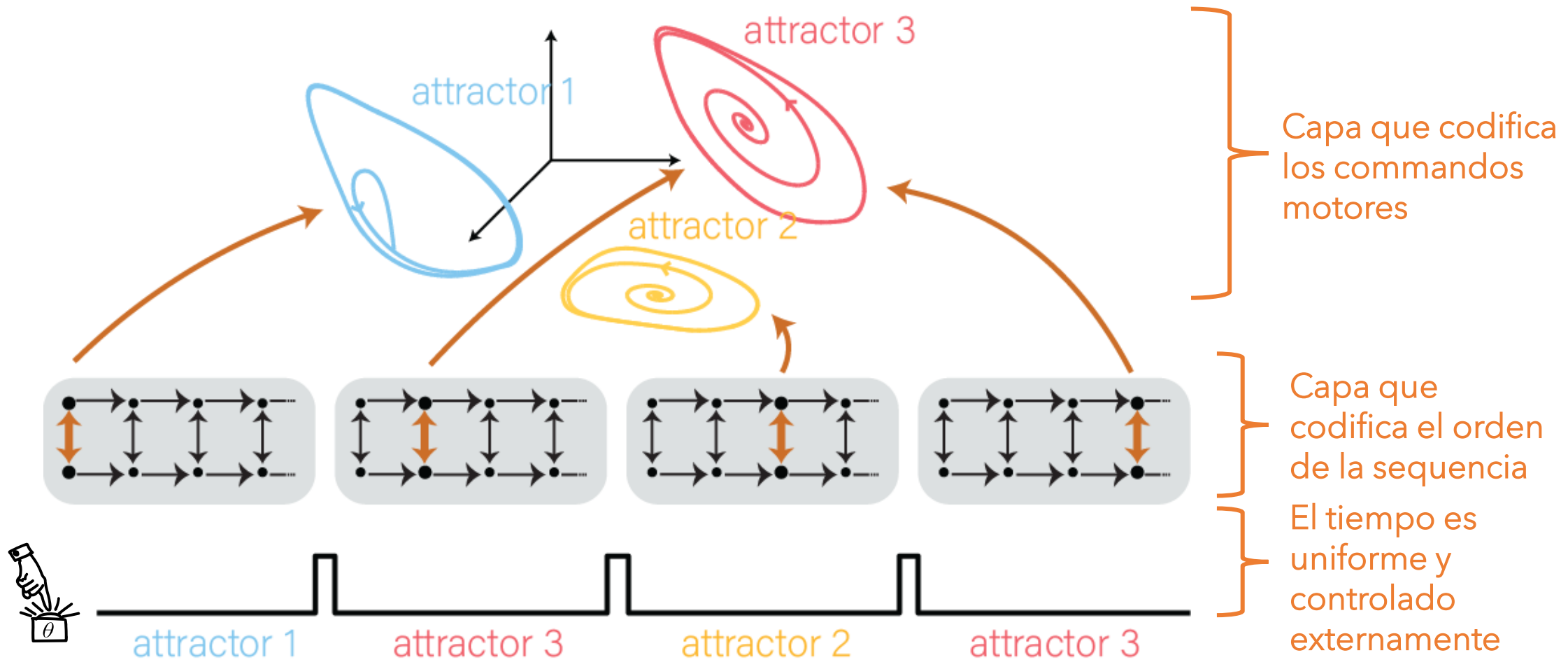
La red puede transicionar entre atractores mediante pulsos enviados a neuronas auxiliares.





Q3. ¿Pueden múltiples **atractores dinámicos** ser codificados secuencialmente, accesibles mediante inputs idénticos?

# Control secuencial de atractores dinámicos



# Ejemplo: secuencias de modos de andar

Node-leg assignment



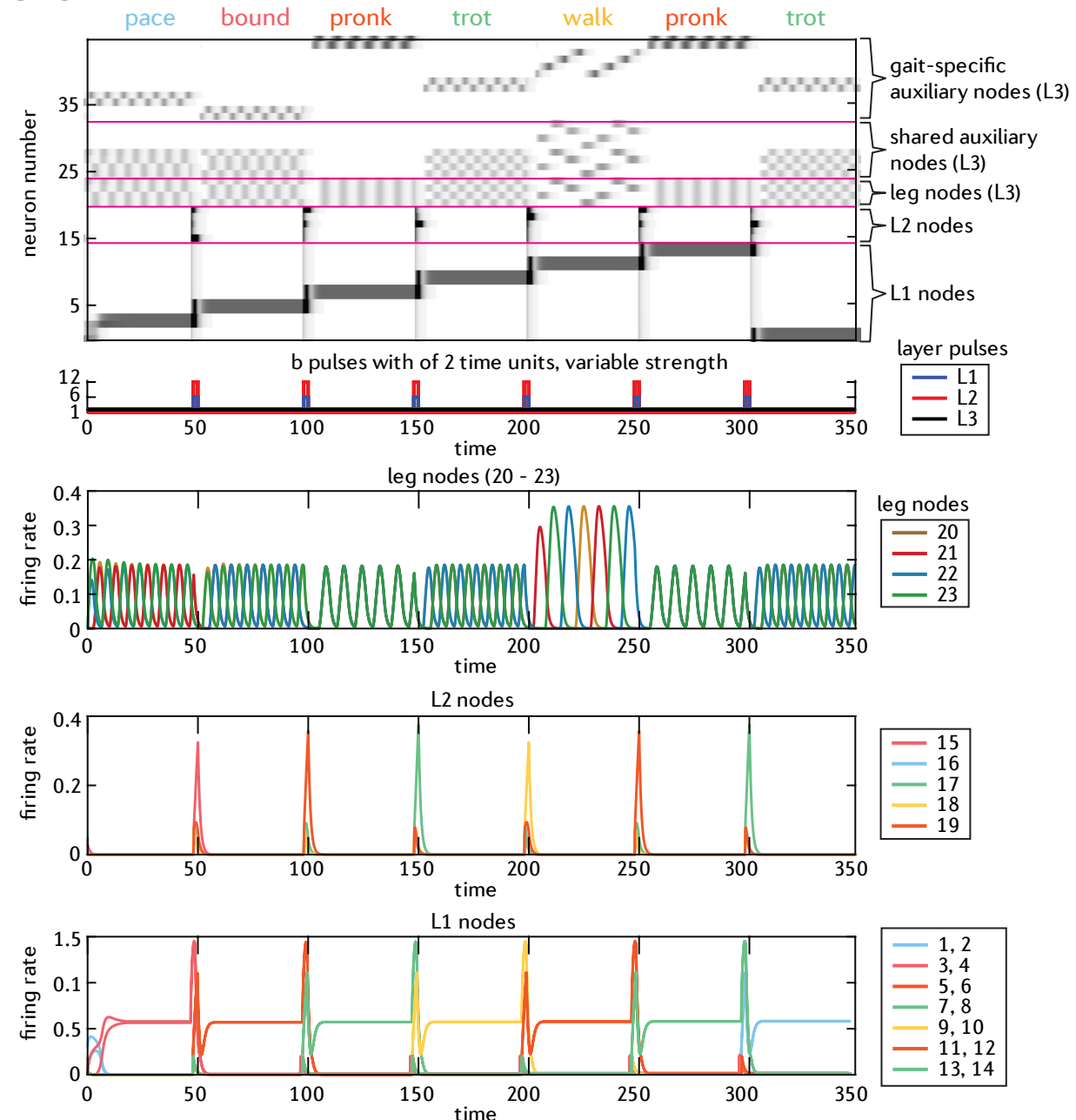
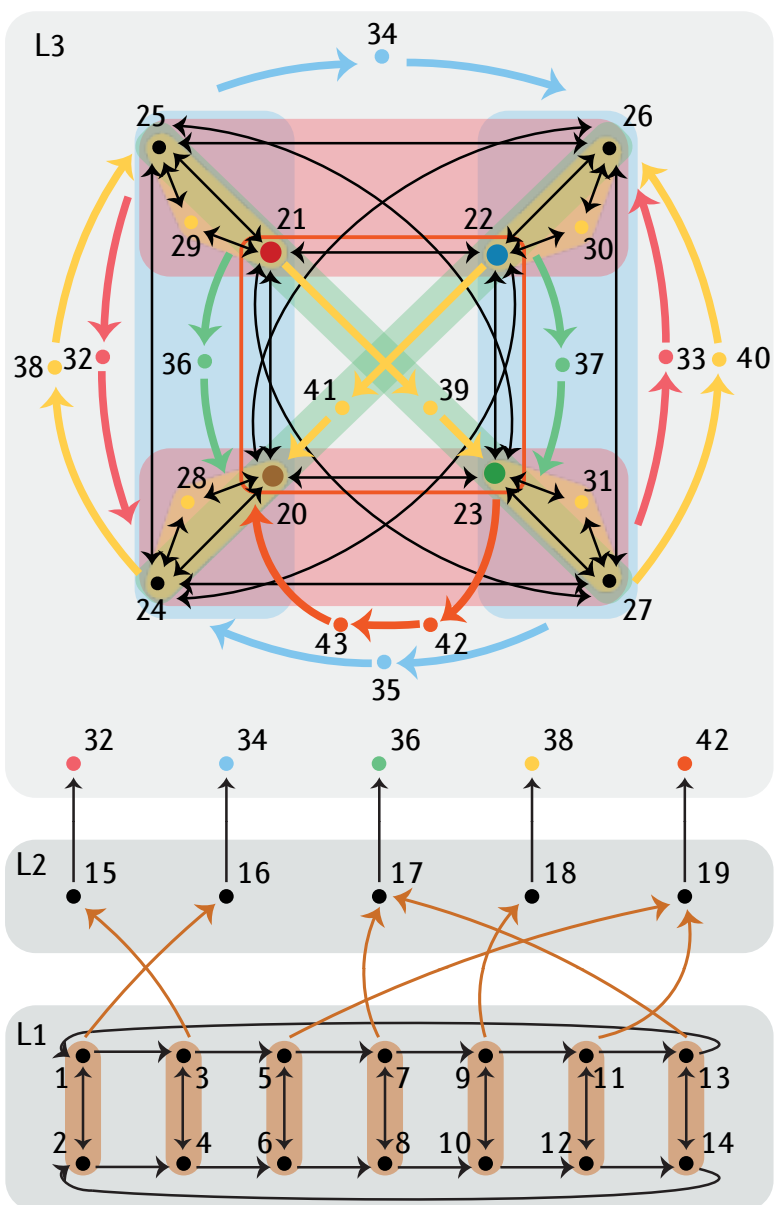
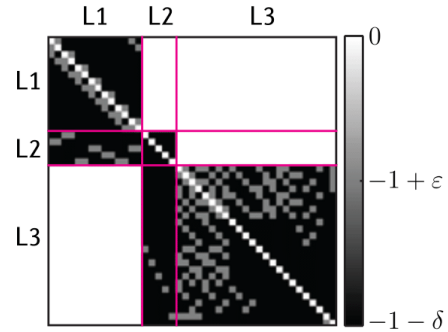
2 LF



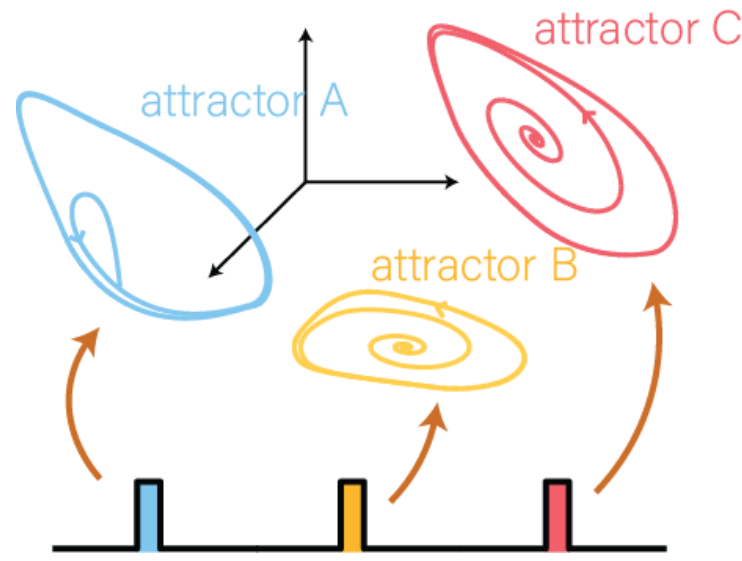
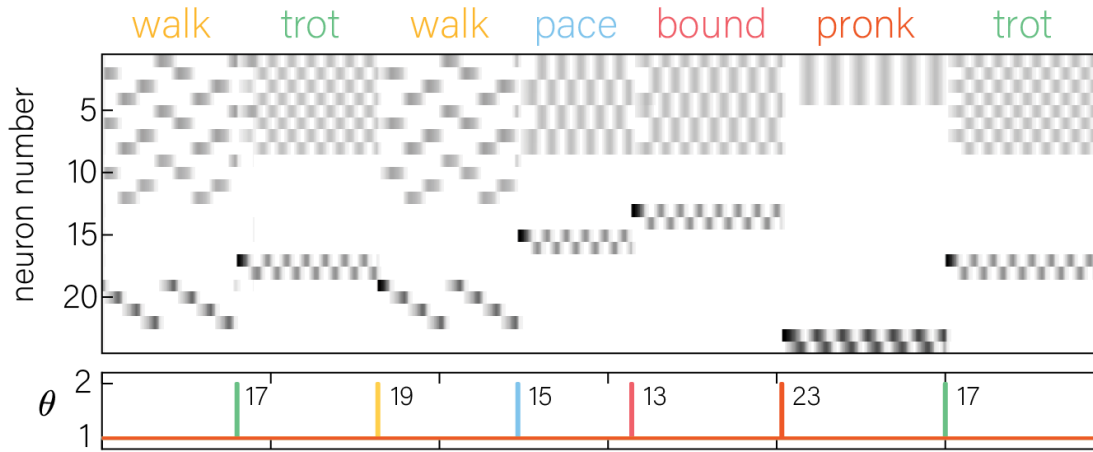
3 RF



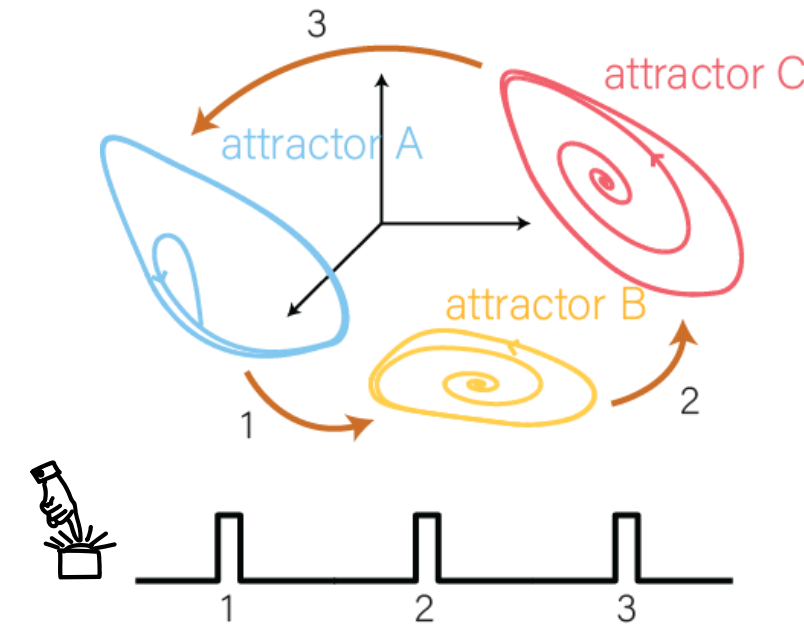
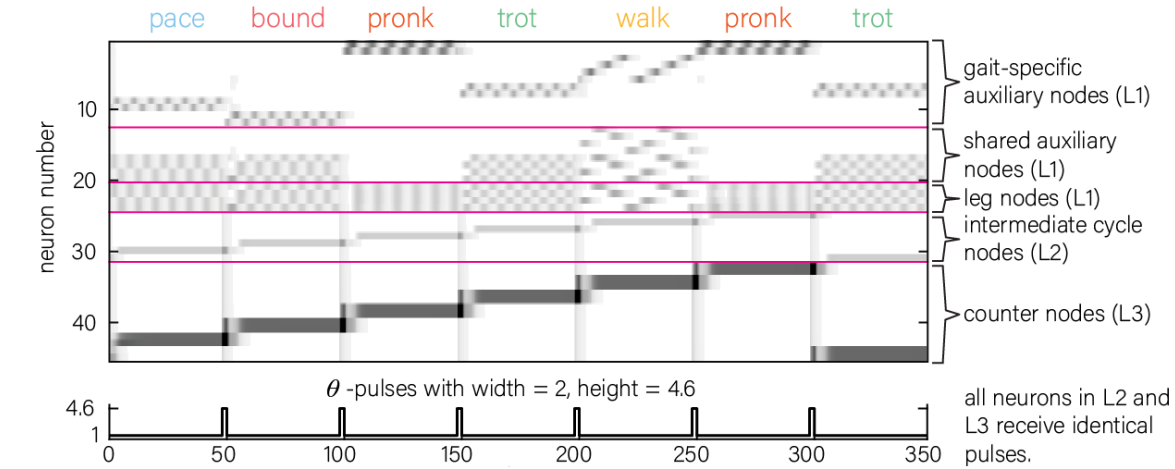
1 LB



Antes: pulsos específicos,  
secuencia codificada externamente



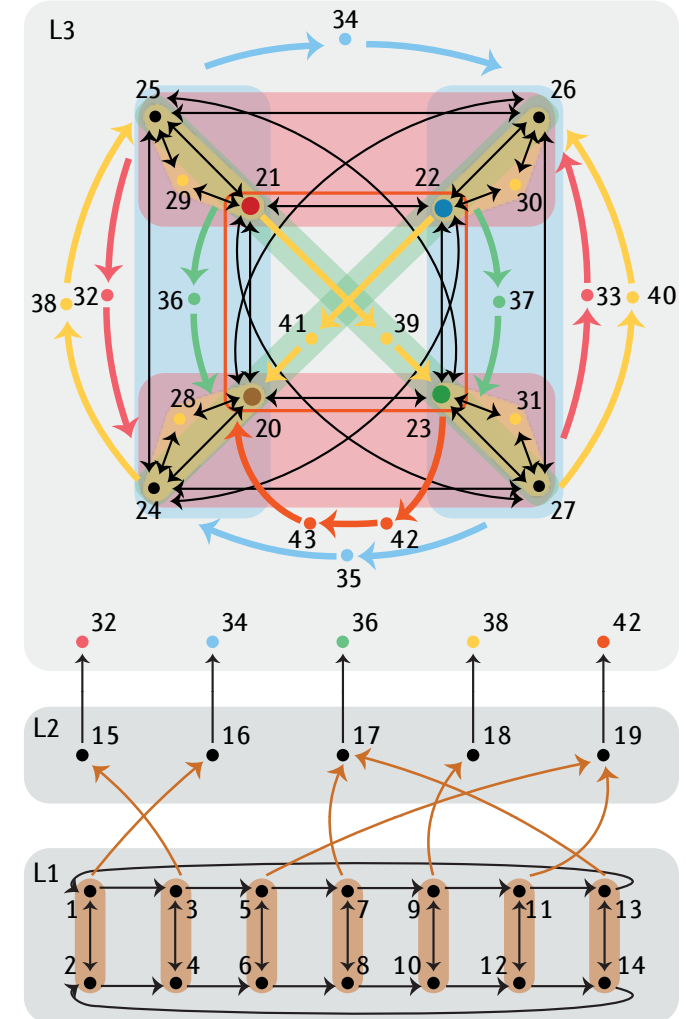
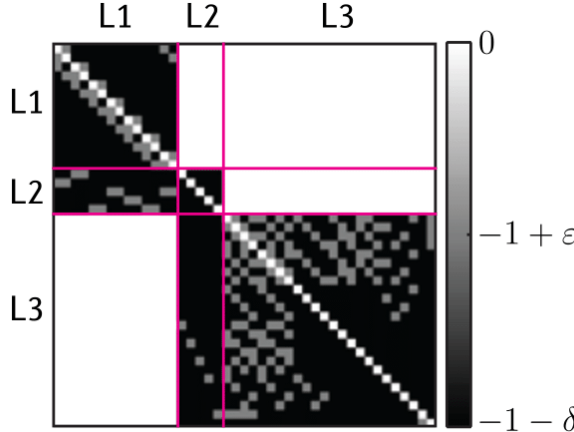
Después: pulsos idénticos,  
secuencia codificada internamente



Redes desacopladas están acopladas transitoriamente

**Corollary 37 (JLA):** Let  $(W, b)$  be a competitive non-degenerate TLN. If  $b_k \leq 0$  for some  $k \in [n]$ , then

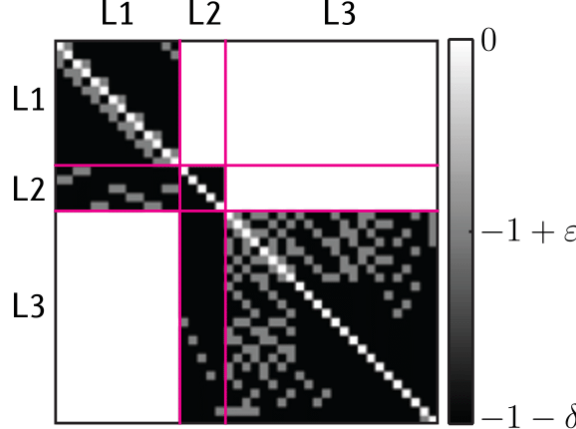
$$\text{FP}(W, b) = \text{FP}(W_{[n] \setminus \{k\}}, b|_{[n] \setminus \{k\}}).$$



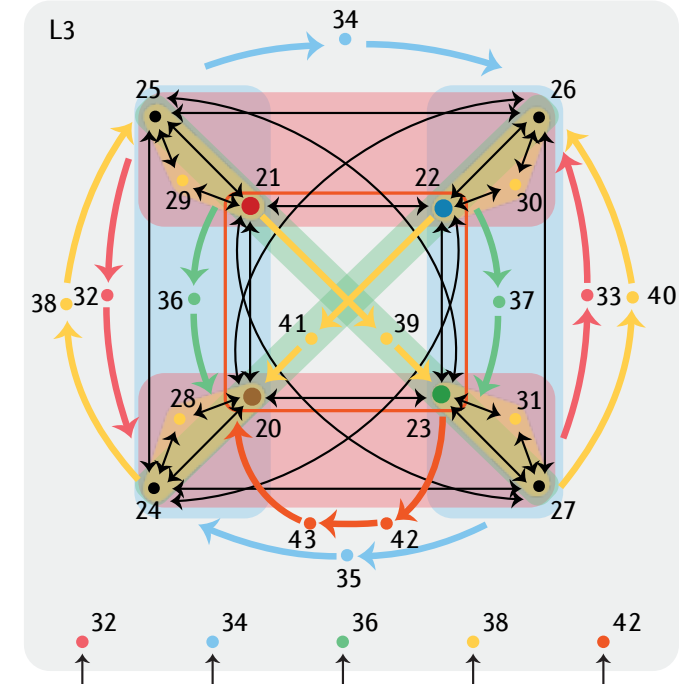
Redes desacopladas están acopladas transitoriamente

**Corollary 37 (JLA):** Let  $(W, b)$  be a competitive non-degenerate TLN. If  $b_k \leq 0$  for some  $k \in [n]$ , then

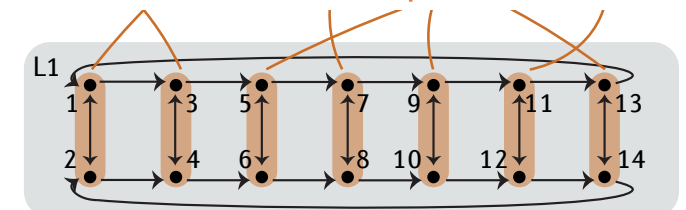
$$\text{FP}(W, b) = \text{FP}(W_{[n] \setminus \{k\}}, b|_{[n] \setminus \{k\}}).$$



$$W|_{L_1 \cup L_3} = \begin{bmatrix} W_{L_1} & 0 \\ 0 & W_{L_3} \end{bmatrix}$$



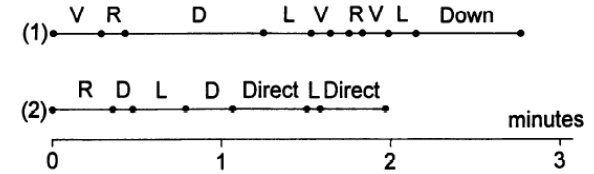
La capa intermedia se desactiva  
fuera de los pulsos



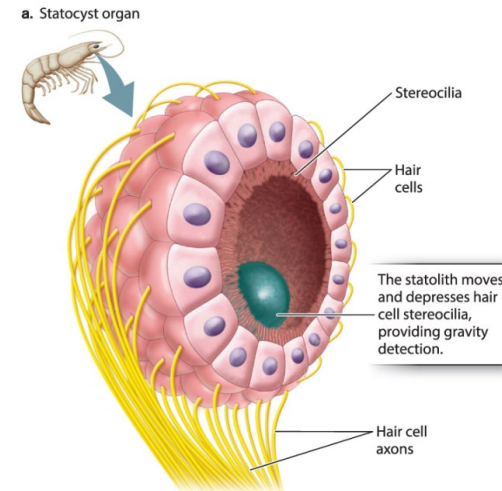
¿Podemos generalizar a otros generadores centrales de patrones?

# Ejemplo adicional: el nado de Clione

- Clione carece de sistema visual. ¿Cómo puede cazar? Nadando caóticamente!
- La orientación de Clione es controlada por sus órganos sensoriales gravitacionales: los estatocistos.

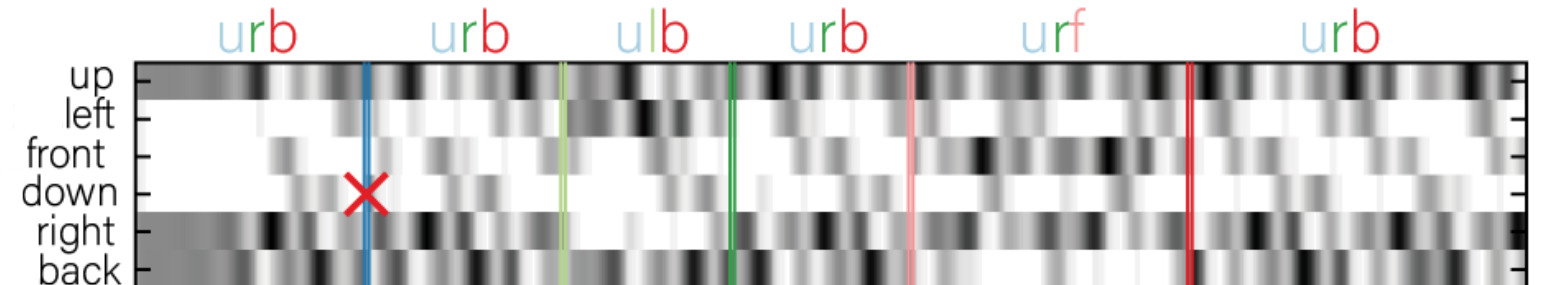
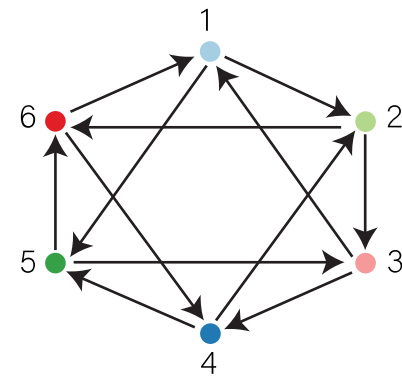
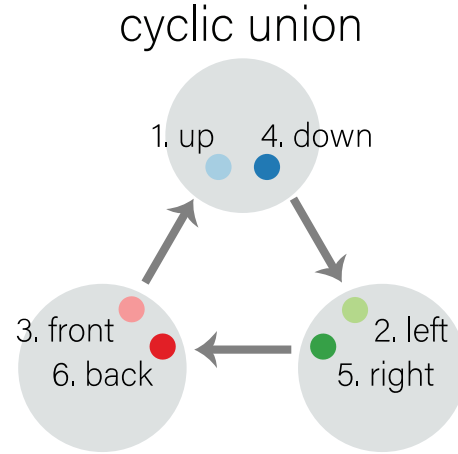


Panchin, Y. V., Arshavsky, Y. I., Deliagina, T. G., Popova, L. B., & Orlovsky, G. N. (1995). Control of locomotion in marine mollusk Clione Limacina. IX. Neuronal mechanisms of spatial orientation. *Journal of neurophysiology*, 73(5), 1924-1937.

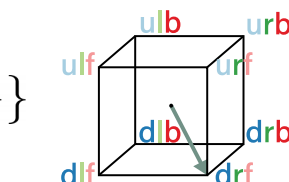
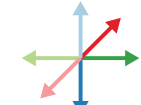
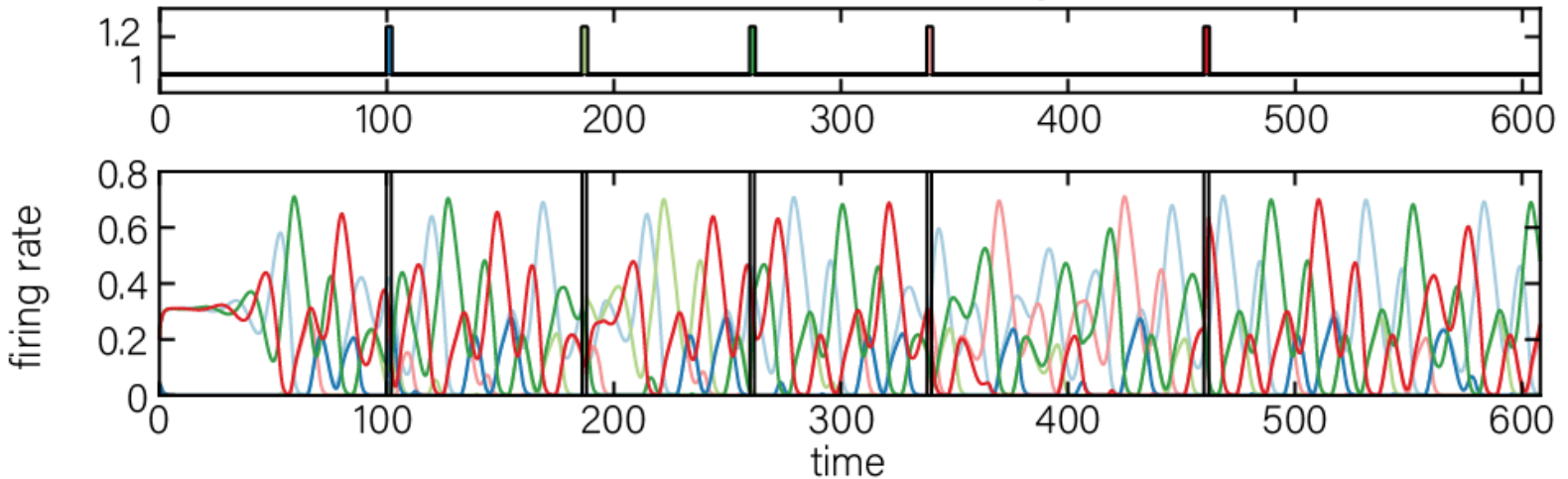


Morris, J. (2019). Biology: How life works.

# Ejemplo adicional: el nado de Clione

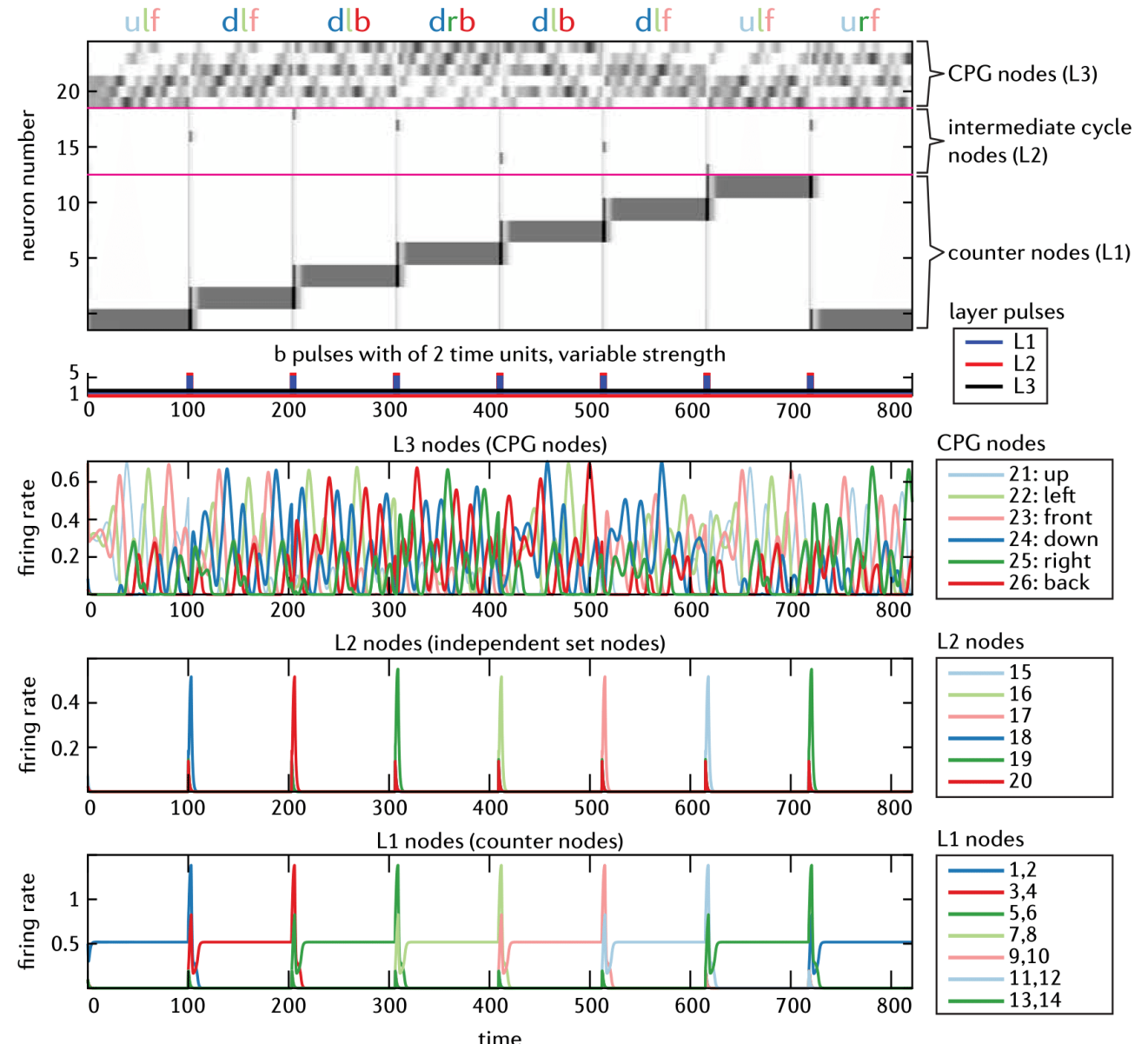
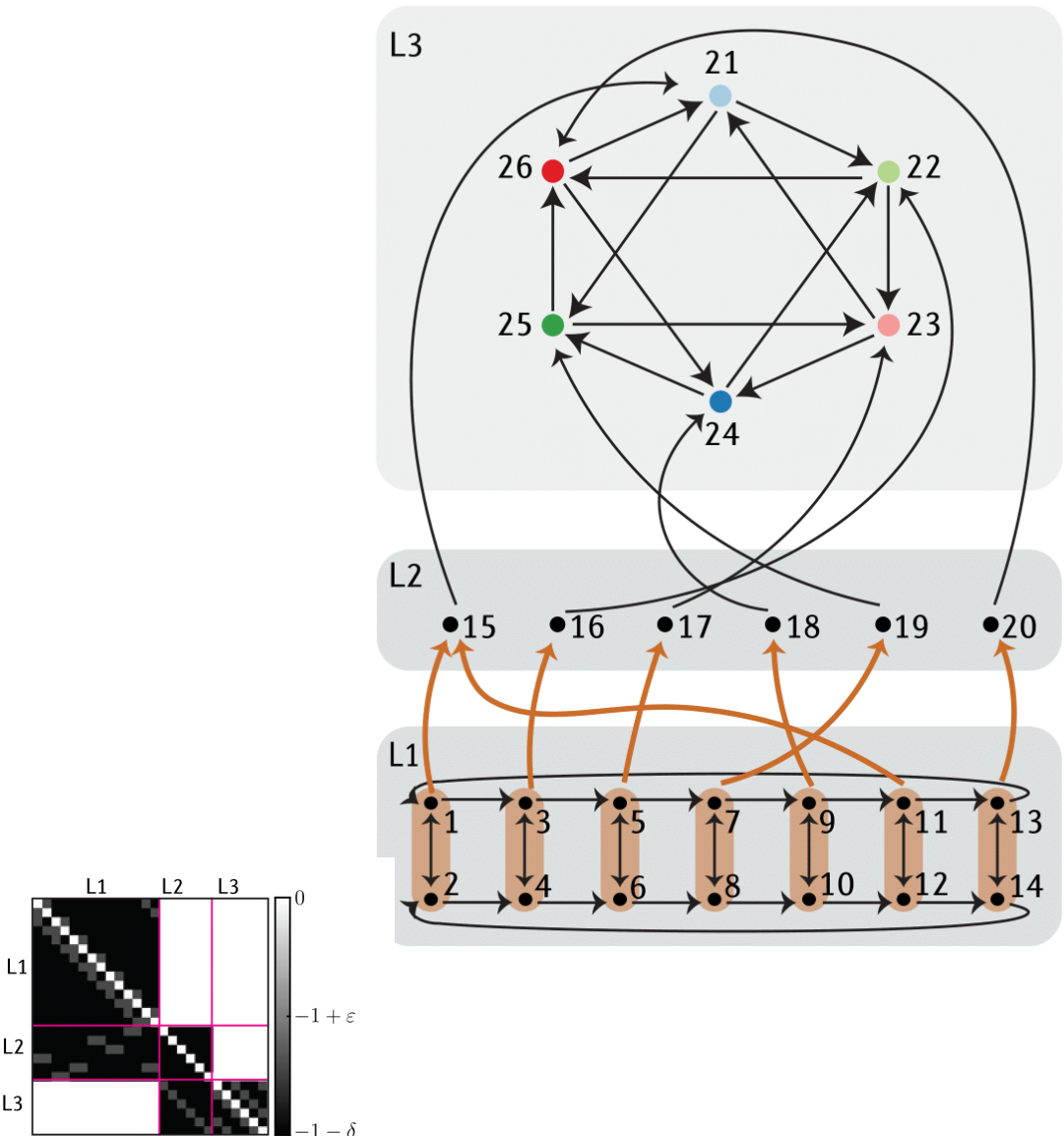


theta pulses with width = 2, height = 1.25

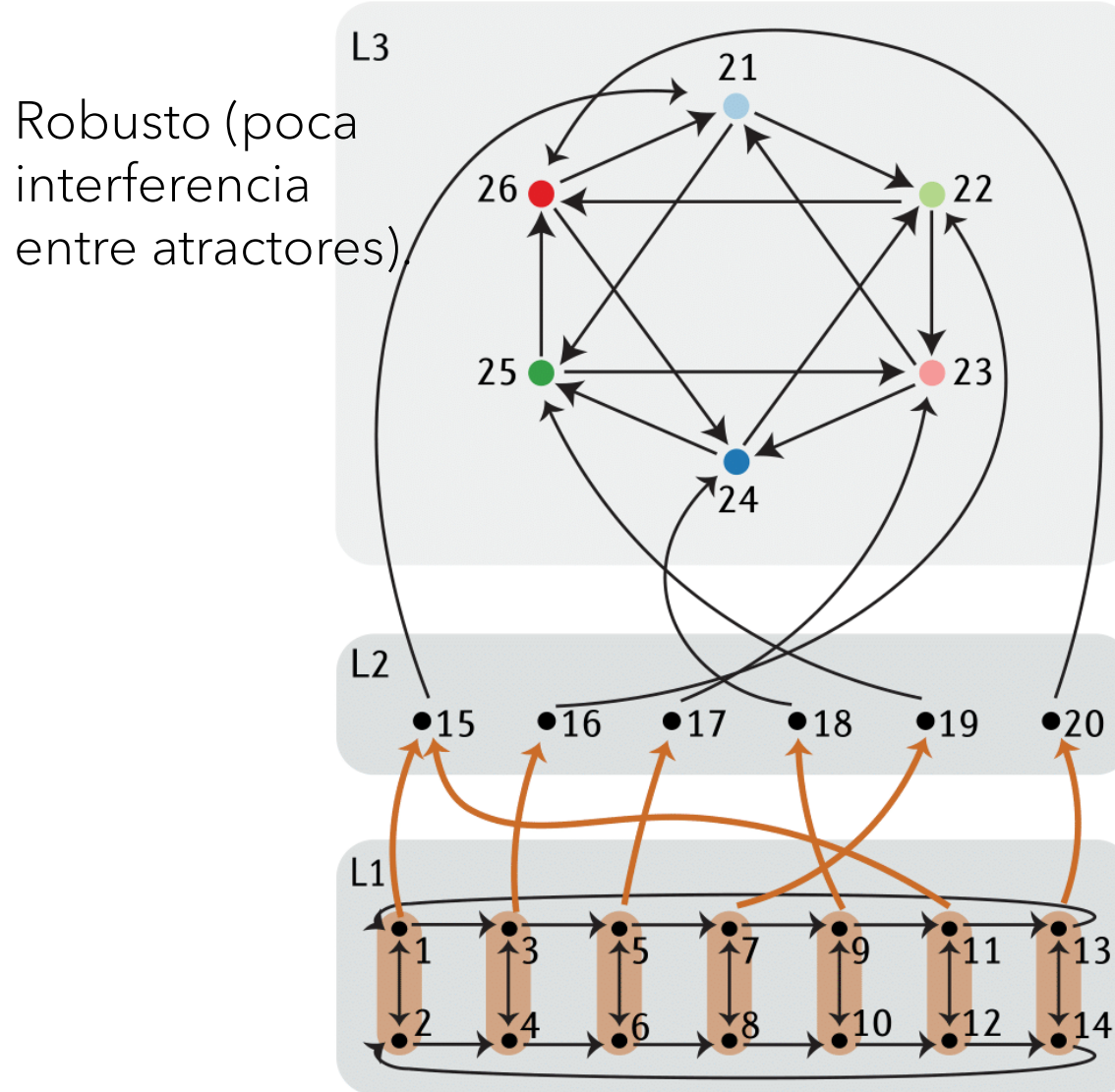


$|\text{FP}(G)| = 27$  minimal supports =  $\{\{1, 2, 3\}, \{1, 2, 6\}, \{1, 3, 5\}, \{1, 5, 6\}, \{2, 3, 4\}, \{2, 4, 6\}, \{3, 4, 5\}, \{4, 5, 6\}\}$

# Ejemplo adicional: el nado de Clione



# Control secuencial de atractores



Muy pocos parámetros de control, pero aún así mucha flexibilidad.

Secuencias más complejas solo necesitan añadir tres neuronas por acción y un número constante de conexiones.

# Gracias!

NSF DMS-1951165  
NIH R01 EB022862



*“They don’t appear to want to take over. They just want to dance.”*

Mahdavian, Navied. The New Yorker, March 2018.